



Градиентная Эфиродинамика. Gradient EtheroDynamics

http://www.course-as.ru/AEM_GE/AEM_GED.html

Разделы Градиентной Эфиродинамики :

Введение в "Градиентную Эфиродинамику" (http://www.course-as.ru/AEM_GE/AEM_GED.html#Input)

Измерения в "Градиентной Эфиродинамике" (http://www.course-as.ru/AEM_GE/AEM_GED.html#Measure)

Демонстрация приборов Измерения Градиентов Эфирного Давления серии ИГЭД.

Измерения Градиентов переменного Эфирного Давления реального времени.

Измеритель Градиентов Эфирного Давления - ИГЭД-1

Измеритель Градиентов Эфирного Давления покаления ИГЭД-2 и ИГЭД-2(гр).

Новые датчики к Измерителям Градиентов переменного Эфирного Давления.

Видео семинаров по измерениям эфирной среды

22-я конференция «ИИИ» - "Измерители Градиентов Давления Эфира. Новые датчики"

Семинар «ИИПВ» - Создание Измерителей Градиентов Эфирного Давления серии ИГЭД

Семинар «DNA Resonance» - Имерители Градиентов Эфирного Давления

Приборы генерации Эфиродинамических излучений

Лабораторный Торсионный Генератор - "TorsGenLab-1"



Семинар ИИПВ. "ИГЭД"

http://www.course-as.ru/AEM_GE/AEM_MGEP-series.mp4

Видео презентаций "Градиентной Эфиродинамики" (http://www.course-as.ru/AEM_GE/AEM_GED.html#Present)

СЕМИНАР «ИИПВ» - "Часть 2. Астрономические явления как реакция материи на вихревое движение эфира"

СЕМИНАР «ИИПВ» - "Часть 1. Гравитация и инерция как реакция на ускоренное движение эфира или в эфире"

СЕМИНАР «ШМ» - "Астрономические явления как реакция материи на вихревое движение эфира"

СЕМИНАР «ШМ» - "Гравитация и инерция как реакция на ускоренное движение эфира или в эфире"

КОНФЕРЕНЦИЯ «ИИИ» - "Астрономические явления и гравитация как реакция материи на вихревое движение эфира"

СЕМИНАР «ИИПВ» - "Взгляд на Рентген излучение с позиций "Эфиродинамики"

"КОНФЕРЕНЦИЯ ПО ЭФИРОДИНАМИКЕ" - "Рентгеновское Излучение как Ударная Продольная Эфирная Волна"

СЕМИНАР "ХЯС и ШМ" - "Рентгеновское Излучение как Ударная Продольная Эфирная Волна"

Теоретические основы "Градиентной Эфиродинамики" (http://www.course-as.ru/AEM_GE/AEM_GED.html#Theory)

Рентгеновское излучение как продольная ударная эфирная волна

Гравитация и инерция как реакция на ускоренное движение эфира

Астрономические явления как реакция материи на вихревое движение эфира

Эфирный Электро-Магнетизм. Часть 1. Статика. Электростатика

Эфирный Электро-Магнетизм. Часть 2. Статика. Магнитостатика

Эфирный Электро-Магнетизм. Часть 3. Динамика "Электро-Магнитных" процессов

Герц и Тесла. Кто прав, кто не прав.

Световое и Радио- излучения – разные эфирные сущности!



Эфирный Вихрь. Теория

http://www.course-as.ru/AEM_GE/AEM_GED.html#Theory

Медицинское направление "Градиентной Эфиродинамики" (http://www.course-as.ru/AEM_GE/AEM_GED.html#Medicine)

Технология "Микросекундная Рентгенология" на новых физических принципах

ИНТЕРВЬЮ каналу "Осенило" - "От Рентгенологии к Эфиродинамике и Биологии"

Биологические основы "Градиентной Эфиродинамики" (http://www.course-as.ru/AEM_GE/AEM_GED.html#Biology)

Представление "Градиентной Эфиродинамики" на вебинаре "DNA Resonance Research Foundation"

Гигагерцовый резонанс ДНК. Нелокального воздействия на био-объекты

Ресурсы Градиентной Эфиродинамики в интернете:

ДЗЕН канал: https://zen.yandex.ru/id/5f2bb1d3d4bc814db7d741a2?lang=ru&referrer_place=layout

Канал RUTUBE: <https://rutube.ru/channel/23916173/>

Самиздат: http://samlib.ru/a/awsharov_e_m/

Файловый архив "ИТуПЭ" : <https://studfile.net/itipe/>

Файловый архив "vixra.org" : https://vixra.org/author/avsharov_evgeny_mikhailovich

"МИС-РТ"-2022. Сборник №82-3 : <https://ikar.udm.ru/sb/sb82-3.htm>

Введение в Градиентную Эфиродинамику.

Апейрон - первоматерия Анаксимандра (Милетского) - прообраз Эфира

Анаксимандр родился в Ионии, 610г. - 547(549)г. до н.э.



Анаксимандр (Милетский)

Ученик Фалеса,
учитель Пифагора

Анаксимандр (*Ἀναξίμανδρος*) ввел понятие **апейрон** («бесконечное, беспредельное») - прообраз современного понятия *Мировой Всепроникающей Среды - Эфира*:

«Первоматерия, которая все порождает и в которую все возвращается» (из Небытия в Бытие и Обратно - АЕМ).

Анаксимандр утверждал :

«все вещи возникают из постоянного движения апейрона – единого материального начала, приводящего к выделению из него противоположностей, из чего и зарождаются все виды стихий».

Экспериментальное подтверждение "Радиантного Эфира"

Колледж Колумбия, Нью-Йорк, 20 мая 1891г. Лекция Н.Тесла.

*" Загадочность поведения эфира, когда он ведёт себя как твёрдое тело по отношению к волнам света и тепла, и как жидкость по отношению к движению тел сквозь него, конечно, наиболее понятно и **удовлетворительно объясняется**, по предложению сэра Уильяма Томсона, **тем, что он, эфир, находится в движении**.*

Тем не менее, невзирая на это, не существует оснований, которые позволили бы нам уверенно заключить, что хотя жидкость не может передавать поперечные вибрации в нескольких сот или тысяч раз в секунду, она не сможет передавать подобные вибрации, если они будут в диапазоне сотен миллионов колебаний в секунду.

Также никто не может доказать, что существуют поперечные волны эфира, испускаемые машиной переменного тока, дающей небольшое количество изменений направления тока в секунду.

Для таких медленных вибраций, эфир, если он находился в состоянии покоя, может вести себя как истинная жидкость.

*... не забывая о том, что существование двух электричеств, по меньшей мере, крайне маловероятно, мы должны помнить о том, что у нас **вообще нет никаких доказательств существования электричества**, и мы не можем надеяться получить их, **если в рассмотрении нет «грубой материи»** ".*

Pioneer Radio Engineer Gives Views on Power, New York Herald Tribune, 11 сентября 1932г.

" Повторив эксперименты Герца с усовершенствованным и очень мощным оборудованием, я удостоверился в том, что он наблюдал не что иное, как эффект продольных волн в газообразной среде, то есть:

*- **волны распространялись посредством сжатия и расширения.***

Эти волны напоминали звуковые волны воздуха, а не поперечные электромагнитные волны, как обычно предполагалось. " ...

" Повторив эксперименты Герца с усовершенствованным и очень мощным оборудованием, я удостоверился в том, что он наблюдал не что иное, как эффект продольных волн в газообразной среде, то есть волны распространялись посредством сжатия и расширения. Эти волны напоминали звуковые волны воздуха, а не поперечные электромагнитные волны, как обычно предполагалось. " ...

*" Я показал, что универсальная среда является газообразным телом, в котором **могут распространяться только продольные импульсы, создавая переменное сжатие и расширение**, подобно тем, которые производятся **звуковыми волнами в воздухе**.*

*То, что один человек называет Богом, другой называет Законами Физики.
/ Никола Тесла /*



(http://www.course-as.ru/AEM_GE/AEM_Hertz&Tesla.pdf)

Не очень известное о

Николе Тесла

(<https://habr.com/ru/companies/ua-hosting/articles/537244/>)

Таким образом, беспроводный передатчик не производит волны Герца, которые являются мифом, но он производит звуковые волны в эфире, поведение которых похоже на поведение звуковых волн в воздухе, за исключением того, что огромная упругость и крайне малая плотность данной среды делает их скорость равной скорости света. “

Создатель научного подхода к эфиру - "Эфиродинамики" - **Ацюковский Владимир Акимович**

**Ацюковский Владимир
Акимович**



<http://www.atsuk.dart.ru/index.shtml>

“Эфиродинамика” Ацюковского В.А. – единственная непротиворечивая теория эфира!

GED-0

Основные базовые положения Эфиродинамики :

1. Исправлена ошибка предшественников о неподвижном стационарном эфире как мировой среде обитания – эфир находится непрерывном движении в микромире, макромире и на астрономических масштабах.
2. Дано модельное представление эфирного вихря протона – основного строительного материала, из которой построены все материальные объекты во Вселенной, представлены вихревые модели материальных образований и физических явлений.
3. Определены пределы основных параметров эфира, один из которых – давление эфира $P_e > 1.3 \cdot 10^{35} \text{ kg/m}^2$ подтверждено по рассеянию электронов на протонах на Стэнфордском ускорителе (SLAC) - давление внутри протона $P_p \approx 10^{34} \text{ kg/m}^2$ - полная корреляция с предсказанным.

По заветам Ацюковского В. А., сказавшего, что “Эфиродинамика требует дальнейшего развития теории эфира”, опираясь на достигнутые результаты, предлагается дополнительный инструментарий исследования, основанный на **градиентах эфирного давления** – “**Градиентная Эфиродинамика**”.

Авшаров Евгений Михайлович (ejen@mail.ru) ноябрь 2021г.

“Градиентная Эфиродинамика” - развитие “Эфиродинамики” Ацюковского В.А.

Это эффективный инструмент в познании всепроникающей эфирной среды (она же “физический вакуум”) как основы **Мироздания**.

“**Градиентная Эфиродинамика**” - это реинженеринговая реконструкция представлений о непрерывном движении и преобразовании эфира в Декартовом пространстве - подход Авшарова Е. М., предложенный им в 2017 году.

В основу положены **Градиенты Давления Эфира**, созданные трансформацией эфирных потоков **Вселенной** : от **Протона** до **Галактик**, от **Небытия** в **Бытие** и обратно.



Авшаров Евгений Михайлович

<http://www.course-as.ru/Avsharov.html>

Для глобального понимания эфиродинамических подходов, для познания процессов и явлений, протекающих в материалах, необходимо учитывать, что все процессы в эфире инициализируются только разницей давления эфира в локальных областях пространства в каждый момент времени. При этом совершенно не играет роли какой механизм реального физического процесса создает эти градиенты давления эфира в пространстве и во времени.

Надо представлять, насколько велика проницаемость внешнего эфирного потока через атом, но не через ядро атома в связи с высокой разреженностью (по поверхности в 10^{10} раз, а по объему 10^{15} раз в сравнении с ядром) присоединенных эфирных вихрей, называемых “электронными оболочками” атомов, чем и объясняется чрезвычайно малая динамическая вязкость эфира при движении через материальное тело и наоборот.

Как видим из сказанного выше, воздействие эфира не обладает критерием “дальнодействием” даже для весьма малых расстояний, а действует через соседние (соприкасающиеся) слои эфира, опосредованно, создавая градиенты эфирного давления, по направлению которых распространяется его движение в пространстве и во времени. Это движение порождается с одновременным хаотическим движением самого эфира, за счет чего мы имеем гигантскую скорость выстраивания равновесных процессов, передающих воздействие изменения давления эфира на материальные объекты на колоссальные расстояния практически мгновенно.

В этом заключается главное отличие в описании эфиродинамических процессов от принятых в настоящее время таких физических подходов как "поле" и "дальнодействие", которые не имеют под собой физических оснований, а более всего похожи на некую "религиозную концепцию" верования в то, что не понимаем.

Такое непонимание отсутствия "полей" и "дальнодействия" простительно в 17-19 веках, но в 21 веке это не только непростительно, но уже и преступно, т.к. развитие техники позволило взглянуть на физическую сущность Мироздания с позиций здравого смысла, причинно-следственных связей физических явлений и экспериментальных данных (смотрите статьи автора), а не эмпирических законов и почти религиозного мракобесия сплошных постулатов, характерных для 18-19 века, а для всего 20 века в еще большей степени.

"Градиентная Эфиродинамика" опирается на эфирное представление "магнитного поля" как замкнутого потока эфира, циркулирующего как через постоянный магнит и вне его тела, это "поле" невозможно быстро изменить, т.к. это конкретный замкнутый эфирный поток в пространстве, имеет свою энергетику и привязку к свойствам материальных тел в окружающем его пространстве!

Эфирное представление "электрического поля" опирается на эфиродинамическое представление спина-джета, создающего продольно-закрученное движение эфира от поверхности материального объекта (изнутри в наружу), создающего уменьшенное эфирное давление внутри объекта по отношению к эфирному давлению окружающей среды, и обратного эфирного потока в пространстве между атомами из окружающей среды, имеющей увеличенное эфирное давление, в обратном направлении.

Суперпозиция градиентов эфирного давления будет иметь поверхности одинакового давления эфира, к которым градиенты эфирного давления в каждой точке этой поверхности будут перпендикулярны - это "эквипотенциальные" поверхности давления, которые в традиционной физике называют каким либо из "полей" и его эквипотенциальной поверхностью.

Градиенты изменения этих "полей" называют чаще всего "напряженностью поля" (магнитного или электрического, например), указывая на главный отличительный принцип взаимодействия объектов и процессов - "Дальнодействие".

Эфиродинамика же указывает на главные принципы построения так называемых "полей": Не может быть непосредственного, через "пустое" пространство "полей", влияния на любые физические процессы и явления в отдаленной материальной среде или объекте без ближайших, к этой среде или объекту, посредников воздействия:

"Дальнодействие" является лишь следствием цепочки связанных, близко протекающих, процессов и явлений "Близкодействия".

Принцип Близкодействия Эфиродинамики

Главное это то, что происходит в самой непосредственной близости исследуемых процессов и явлений, создающих по цепочке причинно-следственных связей, отдаленные процессы и явления:

Принцип "Близкодействия" накладывает на любые процессы и явления в эфире обязательную подчиненность причинно-следственным закономерностям.

Принцип Причинности Эфиродинамики

Так что с эфирных позиций легко можно сказать, что такое электрический ток, и что между магнитным потоком и электрическим током разница заключается только в механизме создания эфирного потока. Все взаимодействия между проводниками с "электрическим током" и так называемыми "магнитными полями", на понятийном уровне "градиентной эфиродинамики", которые необходимо рассматривать как:

Градиенты эфирного давления системы, как векторы в трехмерного пространства, являются суперпозицией градиентов эфирного давления каждого из компонентов, входящих в рассматриваемую систему и создающих градиенты давления эфира.

Принцип Суперпозиции Эфиродинамики

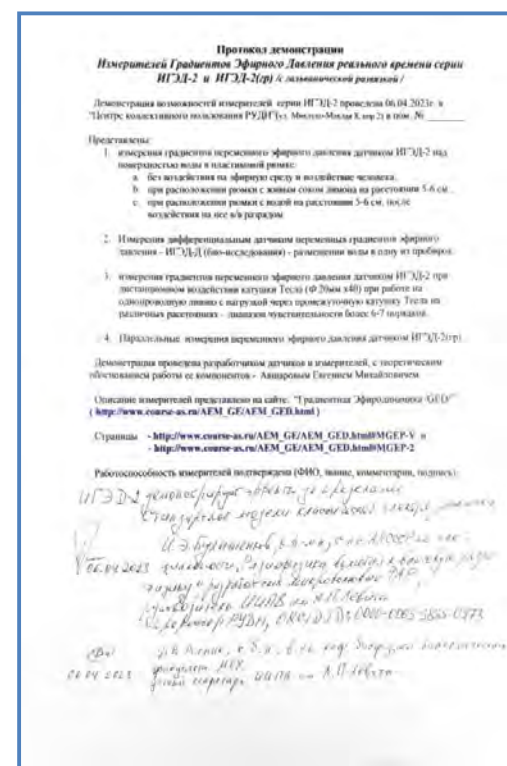
Градиентная Эфиродинамика. Измерения.

← Демонстрация возможностей эфиродинамических измерителей серии ИГЭД-2

Демонстрация измерителей серии ИГЭД-2 проведена 06.04.2023г. в "Центре коллективного пользования РУДН" (ул. Миклухо-Маклая 8, кор 2):

Представлены:

1. измерения градиентов переменного эфирного давления датчиком ИГЭД-2 над поверхностью воды,
2. Измерения дифференциальным датчиком переменных градиентов эфирного давления - ИГЭД-Д (био-исследования) - размещении воды в одну из пробирок.
3. измерения градиентов переменного эфирного давления датчиком ИГЭД-2 при дистанционном воздействии малой катушки Тесла в однопроводной линии с нагрузкой на промежуточную катушку Тесла на разных расстояниях – диапазон чувствительности более 6-7 порядков,
4. параллельные измерения градиентов переменного эфирного давления датчиком ИГЭД-2(гр) с гальванической развязкой детектора из "бифилярной катушки" и "Вилки Авраменко".



(http://www.course-as.ru/AEM_GE/AEM_Protdemo-IGED.pdf) Демонстрация проведена Авшаровым Е.М. в присутствии проф.РУДН, к.ф-м.н. Булыженкова И.Э. (руководителя семинаров ИИПВ МГУ) и к.б.н. Рисника Д.В.

Документально подтверждено :

Измерители серии "ИГЭД-2" демонстрируют эффекты за пределами Стандартной модели Классической Электродинамики.

Необходимость создания цифрового измерительного прибора, желательно работающего в реальном времени, для такой всепроникающей среды - какой является эфирная субстанция, с широчайшим диапазоном энергий и фрактальным характером размеров эфирных вихрей, стало насущной необходимостью, без которой дальнейшее изучение свойств эфира, как первоначальной субстанции физического мира, становилось невозможным.

Базовой частью для прибора, который мог бы осуществить вышесказанное, стали два вида электродинамических устройства, имеющих не объясненные стандартной электромагнитной теорией, эффекты:

- "Вилка Авраменко", представляющая собой два диода соединенных последовательно (анод к катоду), подключение которых производится в месте их соединения к переменному высокому потенциалу, два противоположных конца диодов подключаются на нагрузку (или в приборном случае на измерение).
Теоретически схема замкнутого контура из двух последовательно включенных диодов и нагрузки не должна порождать ток в замкнутой цепи, однако такие работающие устройства, через однопроводную линию очень высокого сопротивления, преобразовывали переменное высокое напряжение с силового трансформатора Теслы, передаваемое по тонкому нихромовому проводу, в десятки киловатт выходной мощности:
- до сих пор не имеет разумного обоснования!
- Бифилярная катушка "Купера" (классическая), при подаче на нее переменного напряжения, например с частотой ультразвукового диапазона, обладает сверх проникающим излучением, проходящим через экранированный корпус, и принимаемое на вторую бифилярную катушку (тип бифиляра может быть любым):
- Явление сверхпроникновения не может быть объяснено в рамках стандартной физической теории!

В работе [Эфирный Электро-Магнетизм. Часть 1. Статика. Электростатика](http://www.course-as.ru/AEM_GE/AEM_EI-p1.pdf) (http://www.course-as.ru/AEM_GE/AEM_EI-p1.pdf) было дано объяснение работы "Вилке Авраменко" как эфиродинамического устройства, на вход которого надо подать через проводник (и не только) переменное изменение эфирного давления с любого электродинамического устройства, в результате чего на выходе может быть получен или потенциал - при измерениях тонкой структуры эфира, или выходной ток значительной мощности - при накачке переменным эфирным давлением с большой амплитудой на входе (трансформатор Тесла).

Объяснение работы бифилярной катушки может иметь место только в Эфиродинамике - только при рассмотрении эфирных потоков вокруг проводника с током как эфирных потоков - "магнитных полей", что было рассмотрено автором в одной из работ - [Эфирный Электро-Магнетизм. Часть 3. Динамика "Электро-Магнитных" процессов](http://www.course-as.ru/AEM_GE/AEM_EI-p3.pdf) (http://www.course-as.ru/AEM_GE/AEM_EI-p3.pdf)

На снимке, представленном ниже, показан опытный образец первого **Измерителя Градиентов переменного Эфирного Давления "ИГЭД-0" (MGED-0)**, собранного по схеме указанной на снимке.

Бифиляр из провода - Cu Φ 0.5 mm (в изоляции из капрона Φ 1.0 mm) намотанный на каркасе от 2 мг шприца (материал с минимальным поглощением эфирных вихрей, как и материал изоляции провода), в качестве диодов могут использоваться импульсные диоды с максимальным проходным напряжением при прямом включении. Были использованы диоды марки "BAW76", как наиболее эффективные.



В качестве цифрового измерителя выступал карманный мультиметр фирмы "Бекман" с емкостью на входе = 25.4 pF и входном сопротивлении = 0.77 Mом, диапазон измеряемых напряжений: от 0.002V до 300V. Измерения производятся на шкале постоянного напряжения в автоматическом режиме переключения диапазонов.

К сожалению такой измеритель не мог регистрировать колебания эфирной среды окружающего пространства, но позволил выявить закономерности излучений эфирной среды, возникающих при малой интенсивности возбуждений эфира, которые привели к пониманию неординарного взаимодействия эфирных потоков с электронными приборами и компонентами.

В силу слишком низкого входного сопротивления слабые колебания не возбужденной эфирной среды сильно подавлены и не могут быть зафиксированы.

Эфиродинамическое основание датчиков измерения переменной составляющей эфирного давления, базирующееся на базовых принципах "Градиентной Эфиродинамики", построенных на "вилке Авраменко" связанной с "бифилярной катушкой Купера", представлено в PDF файле – "[Измеритель переменного градиента давления эфирных потоков](http://www.course-as.ru/AEM_GE/AEM_MGED-0.pdf)" – (http://www.course-as.ru/AEM_GE/AEM_MGED-0.pdf).

Измерители Градиентов Эфирного Давления - ИГЭД-1

Следовательно переход на измерительные мультиметры с входным сопротивлением 10 Мом в милливольтном диапазоне измерения должен сильно увеличить чувствительность измерителя, что и было получено на мультиметре "FLUK 87" с чувствительностью 10 мкV (микровольт) при входном сопротивлении 10 Мом, что и было реализовано на "Измерителе Градиентов переменного Эфирного Давления - ИГЭД-1 (MGED-1)", который вышел на границу чувствительности регистрации колебаний давления эфирной среды:



Ниже изображен стандартный датчик Измерителя Градиентов переменного Эфирного Давления "ИГЭД-1" (MGED-1), (возможны два вида соединений - витая пара и/или коаксиальный кабель (показано выше) - каждый имеет свои преимущества и недостатки, но требует правильное позиционирование в окружающем пространстве предметов для правильного измерения как в статике, так и в связи с движением объектов).



Для более четкой и достоверной регистрации требовалось увеличить чувствительность измерителя: или датчика, или цифрового измерителя, а еще лучше если обоих вместе, а также необходимо было вывести сигнал с измерителя на осциллограф, что по стандартной схеме было сделать невозможно, т.к. стандартное входное сопротивление осциллографов равно 1 Мом, при этом сигнал будет практически убит.

Измеритель Градиентов Эфирного Давления поколения ИГЭД-2 и ИГЭД-2(гр).

В качестве цифрового измерителя был использован мультиметр OWON модель "XDM1041" с чувствительностью 1 мкV (микровольт) при входном сопротивлении 10 Мом, что позволило на более чем порядок увеличить чувствительность в связи с использованием ADC преобразователя, исполненного по новейшим нормам проектирования чипов для электронных компонентов 2021 года изготовления (гигаомное сопротивление входа

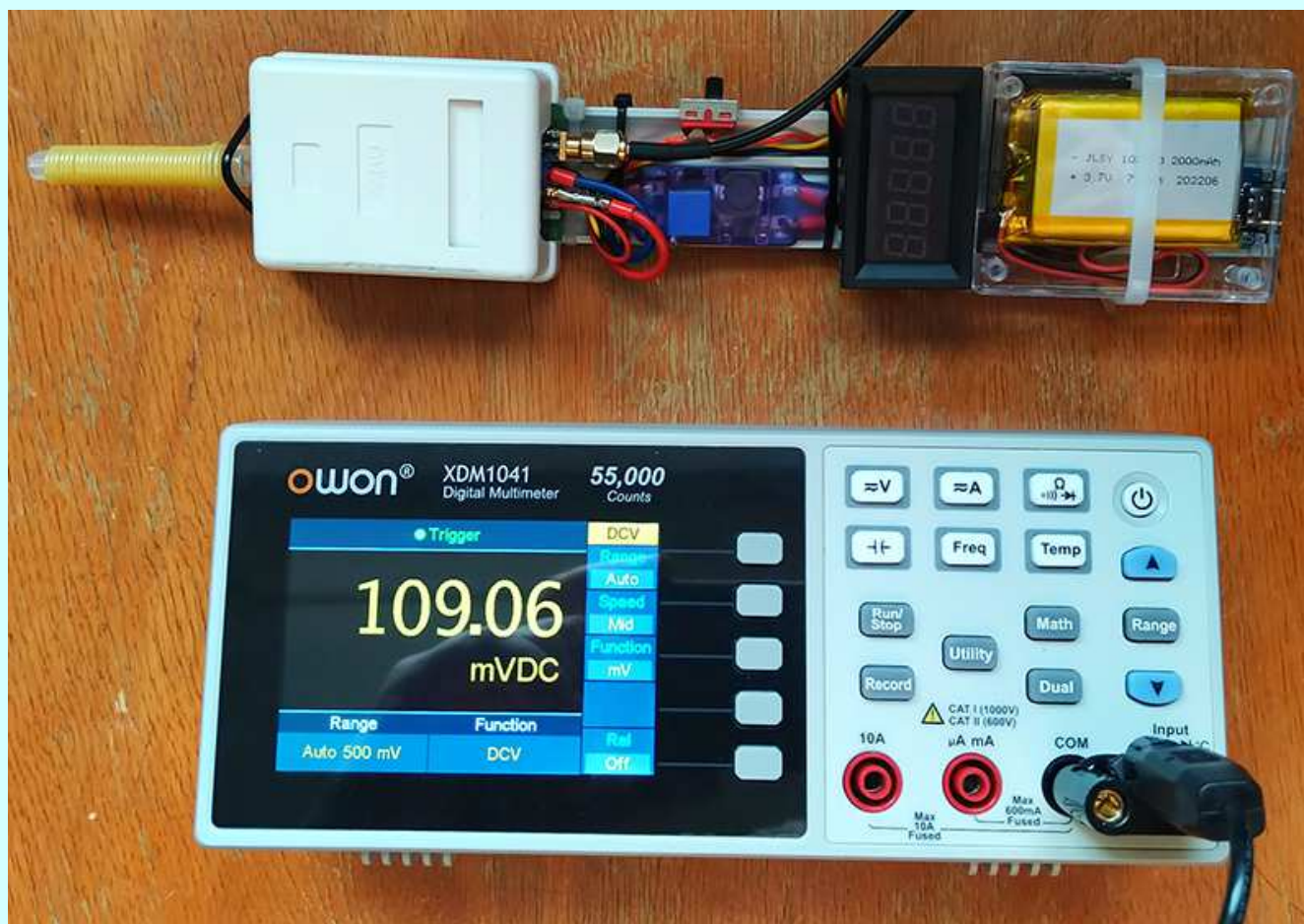
усилителя во всем диапазоне милливольт)

Кардинально изменен был и датчик - его электронная составляющая как детектора, так и усилителя - преобразователя:

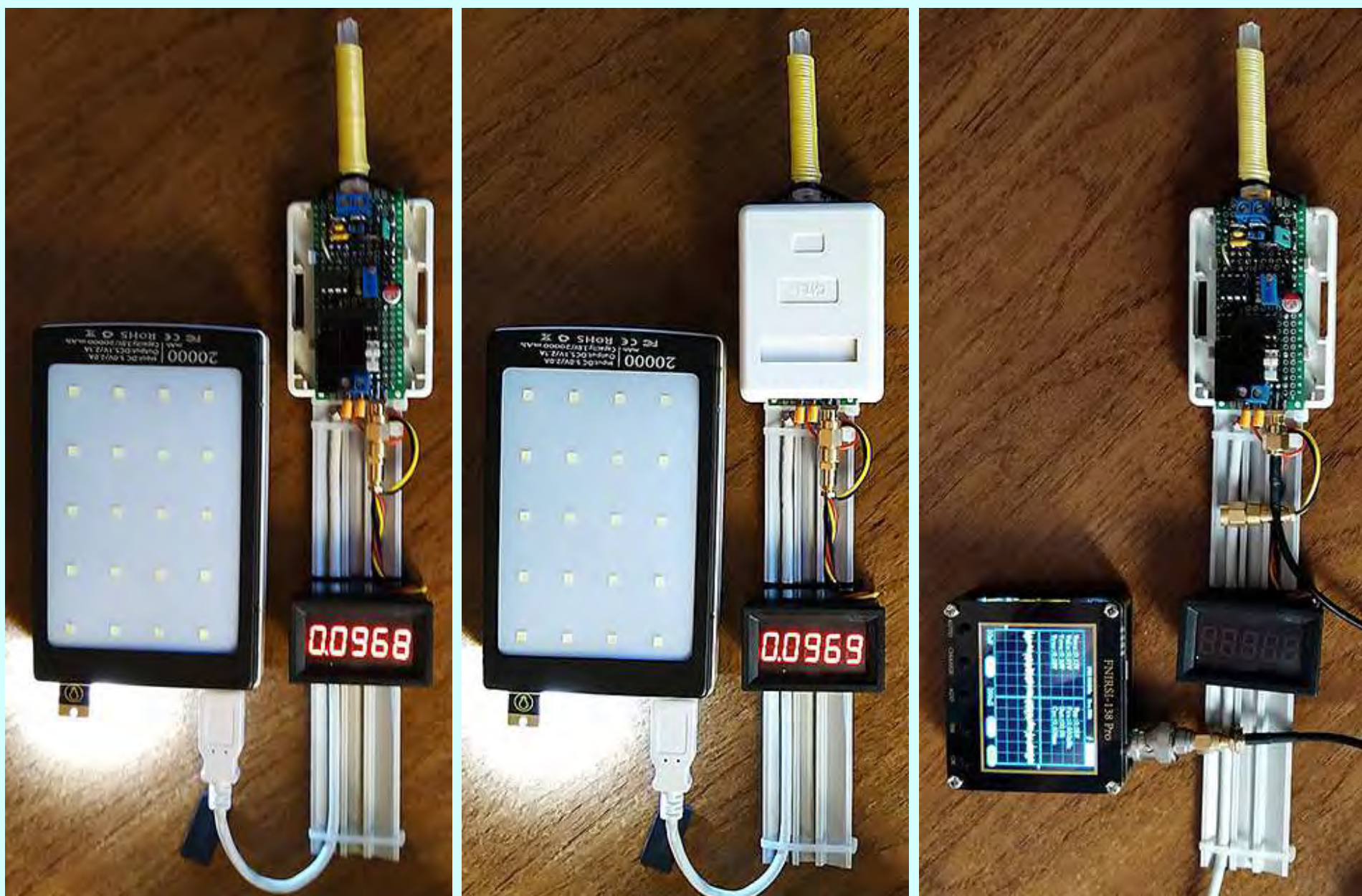
- входное сопротивление датчика было повышено до **50 M Ω** (**10 nF** параллельно);
- использование операционного усилителя с входным сопротивлением в пределах 10^{12} Ом;
- коэффициент усиления операционного усилителя равен единице!;
- гальваническая развязка по питанию и для передачи сигнала на сторону измерения;

при этом чувствительность датчика выросла почти на 2 порядка, хотя входное сопротивление выросло всего в 5 раз! что говорит о том, что законы Ома при работе с эфирными датчиками не выполняются!!

Результат применения изменений виден на снимке ниже, где отображен датчик ИГЭД-2 с гальванической развязкой и автономным аккумуляторным питанием, в сочетании с мультиметром OWON "XDM1041":



Произведенные доработки позволили продемонстрировать работу **Измерителя Градиентов Эфирного Давления "ИГЭД-2(эр)" ("MGER-2gi")** с гальванической развязкой, с выводом на локальный цифровой индикатор высокого разрешения, и с визуализацией на осциллографе в диапазоне частот от мHz до 1 MHz, на вебинаре [DNA Resonance Research Foundation](#) (ведущий Максим Ремпель), прошедшем 15.08.2022г. (Сан Диего - Москва).

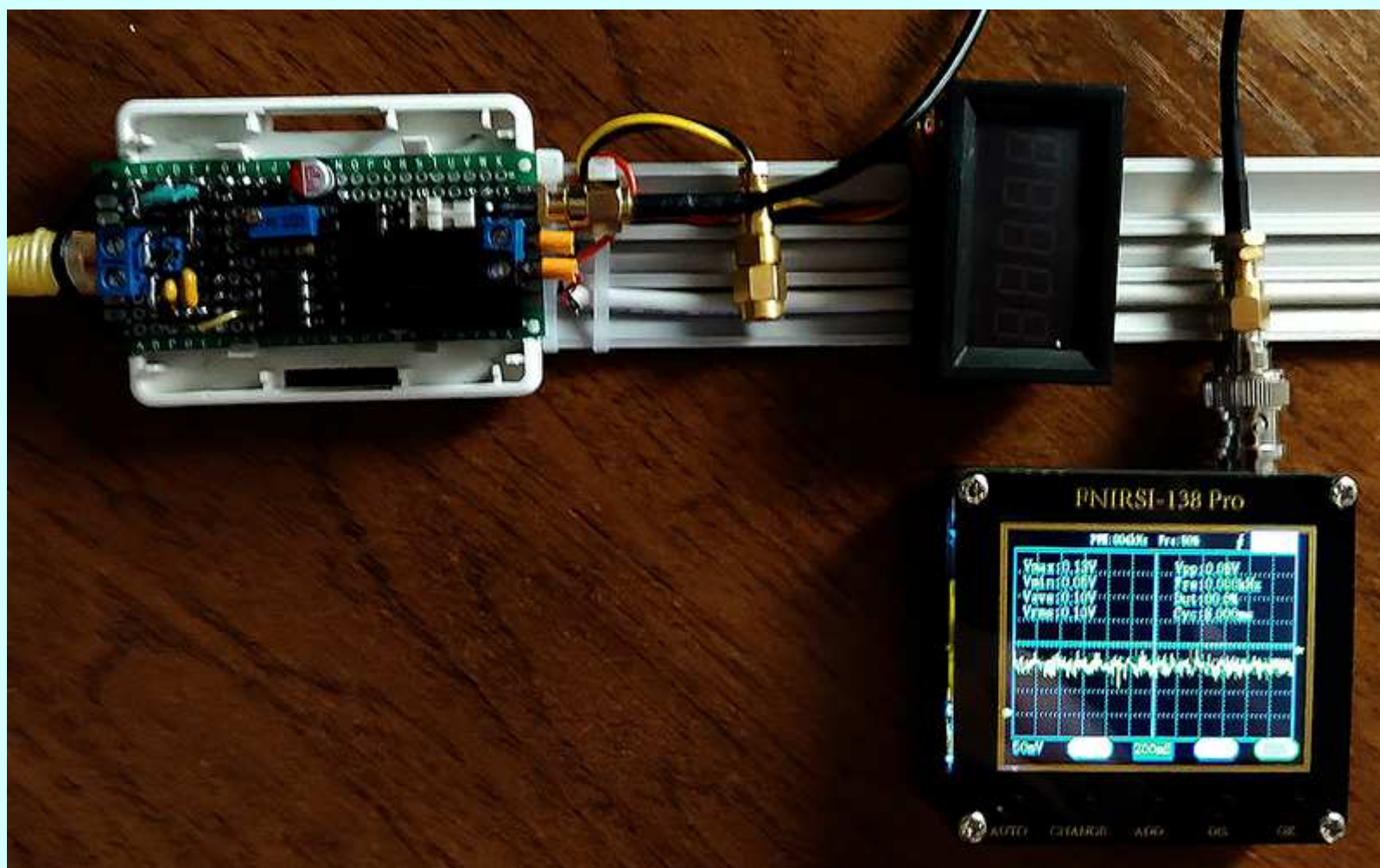


Представление о работе "Измерителя Градиентов Эфирного Давления ИГЭД-2(гр) (MGEP-2gi)" с гальванической развязкой, на входе 50 Мом с усилением $k=1$, дают фотокадры, показанные выше:

На первом кадре ИГЭД-2(гр) (MGEP-2gi) с гальванической развязкой открыт.

На втором кадре ИГЭД-2(гр) (MGEP-2gi) с крышкой, слева повербанк, индикатор 5 разрядный, показания около 100 мв.

На третьем кадре - вместо локального измерителя подключен аккумуляторный осциллограф (200mkS, 50mV) / клетку,



На 4 кадре - осциллограмма уже при (200mS, 50mV) / клетку (время на 3 порядка медленнее).

Если не питать от аккумулятора по отдельности каждый узел, то срабатывает эффект однопроводной линии.

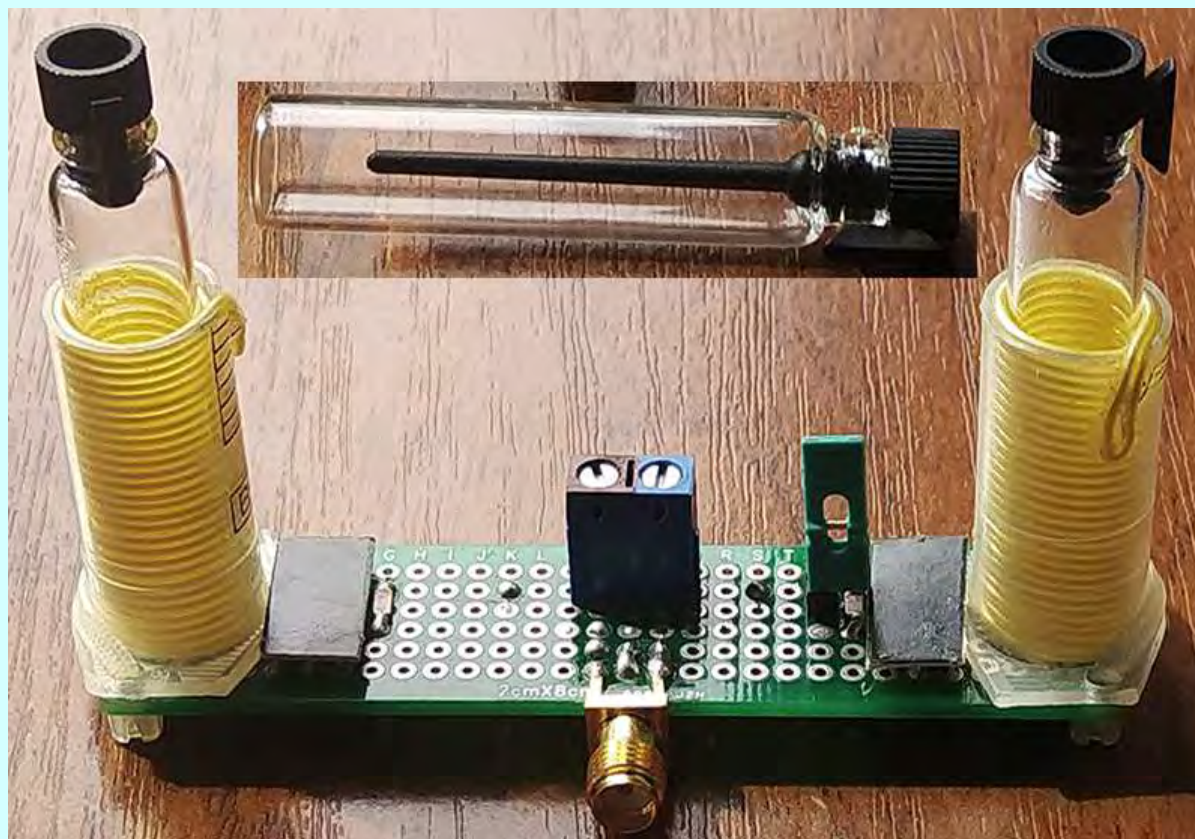
На мультиметре OWON XDM1041 сделано питание от встроенного аккумулятора - избавился от сетевого, которое вносило искажение данных (сильное завышение) из-за эффекта однопроводной линии, которая работала как эфирный детектор!

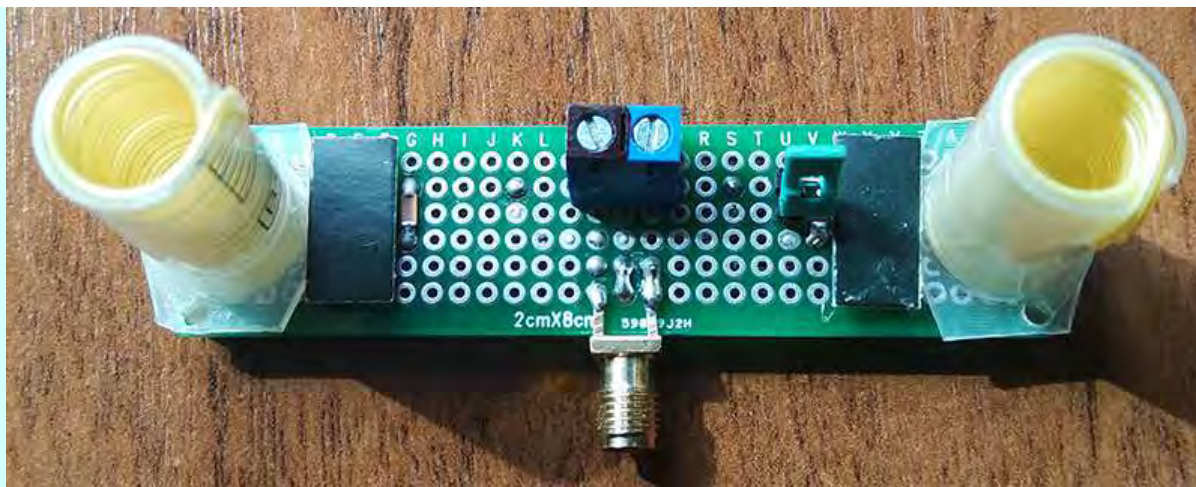
Новые датчики к Измерителям Градиентов переменного Эфирного Давления

1. Разработан новый тип датчика к Измерителям Градиентов переменного Эфирного Давления реального времени серии **ИГЭД-2d (MGEP-2d) - Дифференциальный Датчик** для биологических исследований, в котором осуществляется вычитание (неполное) величин измерений между двумя объектами, находящимися в стеклянных цилиндрических пробирках:

- между исследуемым раствором и контрольным, или
- между исследуемым раствором по сравнению с окружающей средой,

для более четкого измерения воздействий, производимых на биологические объекты или для других специальных областей применения.





Дифференциальный датчик ИГЭД-2d (MGEP-2d) представляет собой два датчика ИГЭД-2 (MGEP-2) включенными последовательно в дифференциальном соединении - / бифилярная катушка (пробирка внутри бифилярной катушки) + вилка Авраменко с удвоенными диодами в каждом плече / - которое позволяет вычитать (на сколько это будет возможно) показания измерений окружающей среды, находящейся в одной пробирке, из показаний измерений объекта, находящегося во другой пробирке.

2. Разработан тип датчика к Измерителям Градиентов переменного Эфирного Давления реального времени серии ИГЭД-2(ch) (MGEP-2Ch), построенный на диодах Шотки марки SS310 с проходным напряжением меньше 0.3V.

Имеет минимизированные габариты чувствительной части датчика и узконаправленную диаграмму чувствительности.



Свойства датчиков, основанных на диодах Шотки, еще требуют своего подробного изучения.

PDF файл описания доступен : - (http://www.course-as.ru/AEM_GE/AEM_MGEP-RT.pdf).

["Измерения Градиентов переменного Эфирного Давления в реальном времени"](#)

Видео по "Измерителям Градиентов переменного Эфирного Давления"

22-я Конференция ИИИ "К новой (единой) физике". 04.06.2023г. Иерусалим.

Дифференциальный Датчик, основанный на 2-х датчиках типа ИГЭД-2 (MGED-2) для "Измерителей переменных Градиентов Эфирного Давления" предназначен для эфиродинамических исследований биологических материалов.

Датчики, основанные на диодах Шотки, представляют следующий шаг в реализации детекторов для "Измерителей переменных Градиентов Эфирного Давления" для серии ИГЭД-2 (MGED-2).

Видео семинара: **Измерители Градиентов Давления Эфира. Новые датчики (во 2-й части с 1:31:58).**

Новые датчики к измерителям серии ИГЭД-2 GED-12

"Дифференциальный Измеритель Градиентов Эфирного Давления - ИГЭД- 2d"

Дифференциальный эфиродинамический детектор реального времени "ЭД-2d" к Измерителям Градиентов переменного Эфирного Давления реального времени "ИГЭД- 2d" (MGEP-2d) для биологических исследований, в котором осуществляется (частичное) вычитание измерений между двумя объектами, находящимися в стеклянных цилиндрических пробирках, заключенных в бифилярные катушки:

- между исследуемым раствором и контрольным, или
- между исследуемым раствором по сравнению с окружающей средой,

для более выраженного (по значению) измерений воздействий на био-объекты.



Дифференциальный датчик ИГЭД-2d (MGEP-2d) представляет собой два датчика ИГЭД-2 (MGEP-2) – бифилярная катушка (пробирка внутри бифилярной катушки) + "вилка Авраменко" с удвоенными диодами в каждом плече для каждой из частей.



http://www.course-as.ru/AEM_GE/AEM_MGEP-NewDetector.mp4

на канале **RUTUBE** <https://rutube.ru/video/a32c1ab844651e5840cd2dff84fa0a02/>
на канале **ДЗЕН** <https://dzen.ru/video/watch/647fe42e9506570f871b205d>
в **YouTube** <https://www.youtube.com/watch?v=2Elc7WWEI4E>
на канале **"Глобальной Волны"** http://www.course-as.ru/AEM_GE/AEM_GED.html

Файл PDF обновленной презентации : http://www.course-as.ru/AEM_GE/AEM_MGEP-RT_pr.pdf .

Российский междисциплинарный семинар по темпорологии им. А.П.Левича (ИИПВ)

На заседании семинара 27.09.2022г. № 772 был представлен доклад :
(<http://www.chronos.msu.ru/mediatek/zasedanie-seminara-27-sentyabrya-2022-g>)

Создание приборов для Измерения Градиентов Эфирного Давления серии ИГЭД (MGEP)

Аннотация

Необходимость создания цифрового измерительного прибора, желательно работающего в реальном времени, для такой всепроникающей среды – какой является эфирная субстанция, с широчайшим диапазоном энергий и фрактальным характером размеров эфирных вихрей, стало насущной необходимостью, без которой дальнейшее изучение свойств эфира, как первоначальной субстанции физического мира, становилось невозможным.

На семинаре представлено второе поколение “Измерителя Градиентов переменного Эфирного Давления” – **ИГЭД-2 (MGED-2) и ИГЭД-2(гр) (MGED-2gi)**, планируется демонстрация в реальном времени с тв камеры работы измерителя градиентов эфирного давления с гальванической развязкой на осциллограф (с аккумуляторным питанием).

Диапазон измерения прибора ИГЭД-2 (MGED-2) составляет более 7-ми порядков !!

Автором разработан и представлен лабораторный “торсионный генератор”, построенный по патенту Акимова А.Е., с сильно расширенными параметрами сигналов, управляющими “торсионным излучателем”, для полноценного исследования свойств излучения на биологические объекты.

Видео семинара: ***"Создание приборов по Измерению Градиентов Эфирного Давления серии ИГЭД"***



http://www.course-as.ru/AEM_GE/AEM_MGEP-series.mp4

на канале **RUTUBE** <https://rutube.ru/video/47fa449a2b1c8efab1ae6038a3a026b2/>
на канале **ДЗЕН** <https://dzen.ru/video/watch/633a093f4f24af0217acf8cc>
в **YouTube** <https://www.youtube.com/watch?v=D9dKHI8v51M>
на канале **"Глобальной Волны"** <https://www.youtube.com/watch?v=ErpZvrmmi14&t=5331s>

Файл описания : http://www.course-as.ru/AEM_GE/AEM_MGEP-RT.pdf .

Файл PDF презентации : [http://www.course-as.ru/AEM_GE/AEM_MGEP-RT\(Pres\).pdf](http://www.course-as.ru/AEM_GE/AEM_MGEP-RT(Pres).pdf) .

Представление Измерителей Градиентов переменного Эфирного Давления на семинаре "DNA Resonance"

Анонс измерителя градиентов эфирного давления ИГЭД-2(гр) (MGEP-2gi) на вебинаре **DNA Resonance Research Foundation** (ведущий Максим Викторович Ремпель), прошедшем 15.08.2022г. (Сан Диего - Москва), с гальванической

развязкой и с выводом на локальный цифровой индикатор высокого разрешения, или с визуализацией на осциллографе в диапазоне частот от мHz до 1 MHz.

Видео на канале **"DNA Resonance Research Foundation"** (<https://www.youtube.com/watch?v=2m9BwXdjL1w>): **"Резонансы ДНК; Ремпель - Морфогенное Поле; Авшаров - эфиродинамика"** - в конце фильма.

На заставке видео изображен датчик Измерителя Переменного Градиента Эфирного Давления" - "ИГЭД-2" (MGEP-2), 2021г.

Эфиродинамический детектор, с гальванической развязкой - "Измеритель Градиентов Эфирного Давления - ИГЭД- 2гр". Визуализация на осциллографе и на цифровом индикаторе. **GED-09**

Эфиродинамический детектор с гальванической развязкой "ИГЭД-2гр" (MGEP-2gi)

Детектор "ЭД-2гр" в измерителе "ИГЭД- 2гр" (MGEP-2gi) имеет входной каскад с входным сопротивлением **50Mом** на выходе "Вилки Авраменко", с возможностью переключения делителя сигнала в режим **1:5** (не работает закон Ома – сигнал уменьшается *немногим более 2-х раз*);

Операционный усилитель с установленным коэффициентом усиления равным **1.0**, входной сигнал колебаний эфирной среды существенно меньше **2 mV**, как на детекторе "ЭД-2", вырос до значений **90-100 mV**.

Детектор "ЭД-2гр", за счет **гальванической развязки** второго каскада с $K_{ус}=1$, позволил вывести сигнал эфирной среды на цифровой осциллограф с входным сопротивлением **1 Mом** (тоже с гальванической развязкой).



http://www.course-as.ru/AEM_GE/AEM_Biology_DNA-2.mp4

на канале **Дзен** <https://zen.yandex.ru/video/watch/62fb7a3da175934a1df58102?t=2>

на канале **RUTUBE** <https://rutube.ru/video/40efbd0b02842c194ab84d9f4cf1805e/>

и на канале **"Глобальная Волна"** <https://youtu.be/vXZoKViTOy0>

Лабораторный Торсионный Генератор - "TorsGenLab-1"

Для исследования параметров излучения "торсионных генераторов" на биологические объекты был спроектирован и изготовлен "Экспериментальный Лабораторный Торсионный Генератор – TorsGenLab-1" (TGL-1).

Эфиродинамическое описание торсионного генератора "TorsGenLab-1"

"Торсионный Генератор Акимова", принципиальная запатентованная схема которого показана на рис.1., состоит из "цилиндрического конденсатора" (3), на электроды которого подается напряжение – на внутренний электрод подается отрицательное напряжение по отношению ко внешнему электроду от источника постоянного напряжения.

Внутри цилиндрического конденсатора находится кольцевой постоянный магнит с полюсами **S** и **N**, намагниченными вдоль оси симметрии, который является источником статического магнитного поля, как показано на рис. 1.

Для создания торсионного излучения на обкладки конденсатора подается однополярное переменное электрическое поле с помощью управляющего сигнала (1) заданной частоты и формы, с помощью электронной схемы.

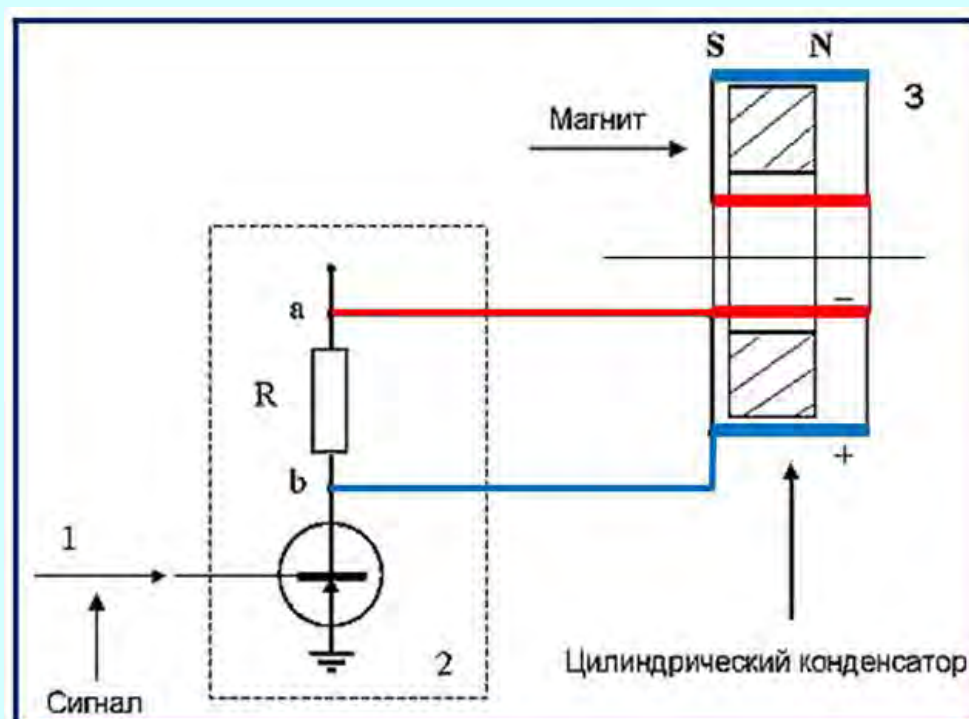


Рис. 1. Принципиальная схема "торсионного генератора Акимова"

С точки зрения “Градиентной Эфиродинамики” возникает взаимодействие двух эфирных потоков под действием градиентов эфирного давления:

– порожденный постоянным магнитом – тороидальный (без кольцевого движения) замкнутый на себя поток эфира по траекториям так называемых “силовых линий магнитного поля”; и

– порожденный переменным однонаправленным градиентом давления эфира от отрицательного электрода к положительному, направленный радиально от центра к периферии, с искажением формы градиентов эфирного давления на краях электродов. (“Градиентная Эфиродинамика”:

- [“Эфирный Электро-Магнетизм. Часть 1. Статика. Электростатика.”](#)). –

смотрите полное описание в PDF - http://www.course-as.ru/AEM_GE/AEM_EI-p1.pdf

Описание Лабораторного Торсионного Генератора "TorsGenLab-1" в PDF файле "AEM_TorsGenLab-1" :



http://www.course-as.ru/AEM_GE/AEM_TorsGenLab.pdf

“Экспериментальный Лабораторный Торсионный Генератор - TGL-1. Москва. 12.09.2022г.

Презентации (видео) **"Градиентной Эфиродинамики"**

Российский междисциплинарный семинар по темпорологии им. А.П.Левича (ИИПВ)

На заседании [семинара 21.03.2023г. № 793](#) был представлен доклад:

"Астрономические явления и гравитация как реакция материи на вихревое и ускоренное движение эфира. Часть 2. Астрономия"

Аннотацию к презентации можно прочитать в файле: [Аннотация. Гравитация и Астрономические явления](#).

Видео доклада - **"Часть 2. Астрономические явления как реакция материи на вихревое движение эфира"** :

Астрономические явления и гравитация – реакция материи на вихревое и ускоренное движение эфира **GED-23**

Центр (Ядро) Галактики “Млечный Путь” (МП)

Радиоизображение ($f = 333\text{MHz} / \lambda = 0.90\text{m}$) ядра Галактики “МП” (1 дел. = 75пк.) :

Центр галактического эфирного вихря (указан как **Ark**), где видны остатки **стволов джетов** вместе с их **“кронами”**, **сверхмассивный звездный объект Sgr A*** (как бы центр гравитации галактики “МП”) смещен от как в плоскости диска, так и вниз по оси диска на величину порядка **≈ 25 пк.!**

“Пузыри Ферми” являются следствием выброса джетом разогнанных протонов и материальных сгустков за пределы галактического диска с выделением энергии при столкновении последних с галактическими газом и пылью в виде рентгеновского и гамма излучений.

http://www.course-as.ru/AEM_GE/AEM_Astro-GE_T.mp4

на канале [RUTUBE \(http://www.course-as.ru/AEM_GE/AEM_GED.html\)](http://www.course-as.ru/AEM_GE/AEM_GED.html) ,
на канале [ДЗЕН \(http://www.course-as.ru/AEM_GE/AEM_GED.html\)](http://www.course-as.ru/AEM_GE/AEM_GED.html) ,
в [YouTube \(http://www.course-as.ru/AEM_GE/AEM_GED.html\)](http://www.course-as.ru/AEM_GE/AEM_GED.html) ,
на канале ["Глобальная Волна" \(http://www.course-as.ru/AEM_GE/AEM_GED.html\)](http://www.course-as.ru/AEM_GE/AEM_GED.html) ,

Файл презентации: http://www.course-as.ru/AEM_GE/AEM_Astro-GE.pdf в формате PDF(5.8MB).

Базовая работа представлена здесь : (http://www.course-as.ru/AEM_GE/AEM_GED.html#Gravy) ,

[Эфиродинамика. Астрономические явления как реакция материи на вихревое движение эфира](#)

Отрывок из базовой работы автора по Астрономии, указанной выше:

"Галактика - рождение, молодость, зрелость и старость"

1. Рождение Галактики.

Рождение Галактики начинается с момента, когда к разрозненной группе звезд, или к звездному скоплению, подходит свободный эфирный вихрь достаточной мощности и объема, что бы вобрать в себя эту группу, или звездное скопление, полностью или большую его часть.

Свободный эфирный вихрь может возникнуть в результате столкновения двух галактических эфирных вихрей по периферии галактик в определенных пространственных расположениях.

В результате создается ядро Галактики, в котором работают законы Кеплера, в центре которого образуется сильное понижение эфирного давления, т.к. эфирному вихрю помогают звезды, перерабатывающие окружающий эфир в протоны (водород) - материал развития Галактики.

Начинает усиливаться невидимый ранее ствол галактического эфирного вихря, который подсвечивается разгоняемыми в стволе протонами и материальными сгустками, оторванными от звезд (планет), попавшими в зону действия ствола эфирного вихря.

2. Юность Галактики.

Происходит раскрутка процесса – засасывание все большего количества протонов (водорода) и материи приводит к увеличению разницы эфирного давления между внешней, по отношению к Галактике, эфирной средой, и пониженным давлением в центре галактического эфирного вихря.

Возникновения стационарного градиента эфирного давления, рост потока сгустков материи и протонов в стволе вихря, появление излучений в радио, оптическом, включая инфракрасный и ультрафиолетовый, и рентгеновский диапазоны. На этом этапе в оптическом диапазоне рукава галактики могут не просматриваться - видны только в ультрафиолетовом диапазоне.

Происходит интенсивное звездообразование в ядре Галактики за счет усиления эффекта всасывания эфира из межгалактической среды и доставка его к звездам ядра для переработки в протоны, звезды растут по массе, увеличивая таким образом градиент эфирного давления.

В звездах происходит интенсивное преобразование эфира в протоны за счет уменьшенного эфирного давления в ядрах галактик, и чем ближе к центру, тем давление эфира меньше, и гравитационному эфирному преобразователю звезд легче материализовывать эфир, система материализации эфира раскручивается убыстряющимися темпами.

3. Молодость Галактики.

Ядро Галактики приобретает шаровую, или близкую к ней форму, ствол галактического вихря эфира сильно сжимается радиальным давлением снаружи за счет значительного градиента эфирного давления, эфир внутри ствола сильно раскручен и разогнан.

Ствол выходит за пределы ядра галактики, превращаясь в длинный тонкий галактический джет, с выбросом плазмы, ускоренных протонов и частиц, результат соударения протонов с плазмой.

Нестационарные звезды взрываются и выбрасывают большие массы материи в виде газа и пыли, поставляя в центральную часть галактического эфирного вихря материал, из которого рождается аккреционный диск в центре эфирного галактического вихря, в котором может находиться, или не находиться, достаточно массивный звездный объект, который со временем выдуется в джет.

Почему раскручивается аккреционный диск думаю объяснить не надо - это работа эфирного вихря внутри ствола, который, с одной стороны подпитывается газом и пылью галактического ядра, а с другой стороны отсасывается стволами джета; куски плазмы и протоны разгоняясь выбрасываются за пределы ядра, а затем и галактики с колоссальной энергией.

С молодости начинается и старение Галактик, которое заключается в процессе выброса звезд, имеющих скорость, достаточную для покидания ядра Галактики – так начинается образование галактических рукавов, форма которых зависит от нешаровидности ядра Галактики.

4. Зрелость Галактики.

Ядро постепенно из шарообразного превращается в эллиптическое, т.к. галактический эфирный вихрь раскрутился за счет подпитки энергии от межгалактического эфира, находящегося под большим эфирным давлением, гравитационное воздействие в плоскости эклиптики в основном подчиняется законам Кеплера, ядро остается не

менее ~20% от диаметра галактики.

В направлении, перпендикулярном плоскости эклиптики, происходит отклонение от этих законов, особенно на периферии ядра, т.к. эфирные потоки диктуются вихревыми процессами, которые и приводят к этим отклонениям.

При этом может возникнуть бар – некоторая вытянутость (не симметрия) ядра – как результат столкновения с блуждающим эфирным вихрем средней мощности, или захват со стороны созвездий, которые привели к искажению формы ядра, которое, со временем, все равно должно превратиться в эллиптическое, под действием гравитационных сил галактического эфирного вихря.

С концов бара усиливается побег звезд и звездных образований из ядра в спиральные рукава. Ствол галактического вихря встал во всей своей красе, выйдя далеко за пределы Галактики, если недалеко будет проходить соседний эфирный вихрь, то джет ударит своим выбросом в него, как в некую преграду, ствол начнет разрушаться и превратится в крону, форма которой будет зависеть от мощности соседнего эфирного вихря, со значительным выделением энергии.

При соударении материя закручивается, образуются гравитационные эфирные преобразователи – как центры зарождения звезд и планет, и наконец вспыхивают новые молодые звезды! Они подхватываются периферийным эфирным галактическим потоком и со временем доставляются в галактический диск приталкиванием эфирных потоков, за счет сил градиентов эфирного давления.

От центра галактического эфирного вихря из ствола, в направлении оси, под малым углом расхождения, будет иметь место мощное излучение во всех диапазонах от радио до рентгена и гамма излучения, а также поток высоко энергетических частиц.

Вот откуда берется космическое излучение с энергией протонов в десятки, и даже сотни пента электроновольт (последние данные измерений показали энергию в 500 PeV и более!).

Внутри галактики могут существовать эфирные вихри средних масштабов, способные создавать квазары, блазары и другие вихревые структуры, с весьма мощным гравитационным эфирным вихрем, имеющим дополнительное “красное смещение” порядка 2.0 и более.

От балджа (бара) постепенно убегают звезды в спиральные рукава, которые занимают при этом значительную часть галактики, в пространстве которого может быть пыль и газ, “приталкивание” спиральных рукавов поддерживается еще на достаточном уровне, чтобы звезды в радиальном направлении убежали с небольшой средней скоростью порядка 20 км/сек.

5. Старость Галактики.

Ядро галактики сильно уменьшилось до размера - менее 10% от полного диаметра галактики, и пропорционально по толщине ядра галактики, балдж отсутствует или практически деградировал.

Джет вырождается из весьма малого диаметром до 1.0 кп., но чрезвычайно большой длины, выходящего далеко за пределы галактики, в весьма широкий - до 4 кпк. и более, но малой длины, не выходящей за предел не только ядра, и даже меньше толщины галактического диска.

Все это является результатом сильной диссипацией энергии галактического эфирного вихря, обусловленного сильным падением мощности гравитационного эфирного преобразователя, и, как следствие, значительно уменьшено “твердое тело”, значительное сжаты границы, где действие гравитации работает по законам Кеплера, распространение “приталкивания” сходит на нет.

Спиральные рукава занимают преобладающую часть галактики, в некоторых случаях они отрываются от балджа на значительное расстояние, в пространстве которого может быть пыль и газ, или, почти свободный от них, галактический эфирный вакуум.

Примером такой галактики может служить наша галактика “Млечный Путь”, для которых характерны следующие признаки:

- размер ядра вместе с балджем составляет менее 8% от диаметра галактики,
- хорошо развитая система галактических рукавов с закручиванием,
- маленькие и широкие джеты с кронами находится внутри ядра галактики,
- звезды осуществляют побег не только из ядра, но из рукавов,

но это почетная старость.

На наш век хватит, Без гигантских катаклизмов в ближайшую пару миллиардов лет.

6. Смерть Галактики.

Главным критерием смерти галактики следует считать практическое отсутствие ядра или оно пренебрежительно малого диаметра, джет практически выдохся и не прослеживается в центре галактики, звезды рассеиваются и галактические рукава теряют свою структуру, отдельные звездные скопления или конгломерации, движущиеся однонаправленно, еще поддерживают свою структуру за счет небольшого локального эфирного вихря.

Распад и разбег, все в прошлом...

К некоторому звездному образованию среднего размера из молодых звезд подошел очередной свободный, достаточно мощный, галактический эфирный вихрь.

Король умер, да здравствует Король!

Российский междисциплинарный семинар по темпорологии им. А.П.Левича (ИИПВ)

На заседании семинара 14.03.2023г. № 792 был представлен доклад:

(<http://www.chronos.msu.ru/ru/mediatek/zasedanie-seminara-14-marta-2023-g>)

"Астрономические явления и гравитация как реакция материи на вихревое и ускоренное движение эфира. Часть 1. Гравитация"

"Природа создала самое универсальное - Движение и Вращение Эфира - как первичную субстанцию, среду, из которой рождается Жизнь - от Протона до Галактик, от полного Хаоса до высокоорганизованного Разума, реализуя главный закон Вселенной - непрерывный процесс трансформации Эфира: из Небытия в Бытие (Жизнь) и обратно."

Аннотацию к презентации можно прочитать в файле: [Аннотация. Гравитация и Астрономические явления.](#)

(http://www.course-as.ru/AEM_GE/AEM_Ann-Gravy+Astro.pdf)

Видео доклада - "Часть 1. Гравитация и Инерция как ускоренное движение эфира или в эфире" :

Эфиродинамическая основа эфирной среды – *Тороидальный Вихревой Процесс* от протона до галактик – как результат взаимодействия "Градиентов Эфирного Давления"

GED-03

Модель Ацюковского В. А.



Эфирная модель протона (по Ацюковскому)

Кавитация пузырька



Crum L. J. Physique, v.40, 285 (1979)

Модель Эфирного Тороидального Вихря со Спинем



Эфиродинамическая схема протона, атома, кавитац. пузырька, ... , галактик

Эфиродинамическая модель тороидального эфирного вихря

Тороидальная эфирная модель Ацюковского расширена существенным вкладом прогоняемого через его центральную область эфирного потока, который представляет собой **спин (джет)** для всего диапазона масштабов: (у галактик и звезд эфирный сдвоенный тороид вращения зеркально отраженный).

Джеты галактики IC 4296



http://www.course-as.ru/AEM_GE/AEM_Gravy-GE_T.mp4

на канале **RUTUBE** (<https://rutube.ru/video/a7ad850e8fb3750b9856a8e4d211cc49/>),

на канале **ДЗЕН** (<https://dzen.ru/video/watch/6446d65a9b9fb25fac097a9e>),

в **YouTube** (<https://www.youtube.com/watch?v=Y7viEZmbDos>),

на канале **"Глобальная Волна"** (<https://www.youtube.com/watch?v=80TRcsRaiK8>),

Файл презентации: http://www.course-as.ru/AEM_GE/AEM_Gravy-GE.pdf в формате PDF(6.2MB).

Базовая работа представлена здесь : [Гравитация и инерция как реакция на ускоренное движение эфира](#)

(http://www.course-as.ru/AEM_GE/AEM_GED.html#Gravy)

СЕМИНАР «ФИЗИКА ШАРОВОЙ МОЛНИИ» (Заседание №171). 28.12.2022г. Физфак МГУ.

Тема: "Астрономические явления как реакция материи на вихревое движение эфира" –

это вторая часть презентации "Астрономические явления и гравитация – реакция материи на вихревое и ускоренное движение эфира".

Аннотация

Природа создала самое универсальное - движение и вращение эфира - как первичную среду, из которой рождается Жизнь - от Протона до Галактик, от полного Хаоса до высоко организованного Разума, реализуя главный закон Вселенной - непрерывный процесс трансформации Эфира из **Небытия** в **Бытие (Жизнь)** и обратно - базовые

1. Дано модельное эфиродинамическое представление "привода" астрономических объектов - *Торoidalного Эфирного Вихря со Спином-Джетом*:

- эфиродинамический "привод" Планет звездных систем;
- эфиродинамический "привод" Звездных систем в Галактиках;
- эфиродинамическая модель квазаров и других мощных источников излучения.

2. Представлено эфиродинамическое решение проблемы скоростей Звезд Галактик:

- показано решение проблемы "Твердого тела" в ядре галактик;
- показано решение проблемы "Скоростей звезд" ядра (и балджа) галактик;
- показано решение проблемы "Скоростей звезд" в галактических рукавах.

3. Представлено эфиродинамическое решение проблемы "Красного смещения" и диссипации энергии так называемых "Электро-Магнитных" излучений.

Видео доклада на конференции:

"Астрономические явления и гравитация – реакция материи на вихревое и ускоренное движение эфира"

GED-10

Астрономические явления и гравитация – реакция материи на вихревое и ускоренное движение эфира

Центр (Ядро) Галактики "Млечный Путь" (МП)

Радиоизображение ($f = 333\text{MHz} / \lambda = 0.90\text{m}$) ядра Галактики "МП" (1 дел. = 75пк.) :

Центр галактического эфирного вихря (указан как **Ark**), где видны остатки **СТВОЛОВ ДЖЕТОВ** вместе с их "**кронами**", **сверхмассивный звездный объект Sgr A*** (как бы центр гравитации галактики "МП") смещен от как в плоскости диска, так и вниз по оси диска на величину порядка ≈ 25 пк.!

"Пузыри Ферми" являются следствием выброса джетами разогнанных протонов и материальных сгустков за пределы галактического диска с выделением энергии при столкновении последних с галактическими газом и пылью в виде рентгеновского и гамма излучений.

http://www.course-as.ru/AEM_GE/AEM_Astro-GE.mp4

на канале **RUTUBE** (<https://rutube.ru/video/private/56ad135a43274636a20e5fad957ec112/?p=NLucOAw6VSsQt7nQKuBqwQ>),

на канале **ДЗЕН** (<https://dzen.ru/video/watch/63acb5fd313fd4737bc5c550>),

в **YouTube** на канале "Осенило" (<https://www.youtube.com/watch?v=Pj5HqS6OBMA>),

на канале **Глобальная волна** (<https://www.youtube.com/watch?v=jzDTCi0h7ts>),.

Файл презентации: http://www.course-as.ru/AEM_GE/AEM_Astro-GE.pdf в формате PDF(5.8MB).

СЕМИНАР «ФИЗИКА ШАРОВОЙ МОЛНИИ» (Заседание №167). 23.11.2022г. Физфак МГУ.

Тема: "Гравитация и инерция как реакция на ускоренное движение эфира или на движение в эфире" - версия дополненная, переработанная.

Аннотация

Базовая модель эфира - всепроникающая газоподобная среда, которую предложил основатель "Эфиродинамики" В.А. Ацюковский, с дополнениями и уточнениями автора - системотехнического подхода к познанию свойств эфира - "**Градиентной Эфиродинамики**".

Представлена универсальная модель движения эфирных потоков как тороидальных эфирных вихрей с, не учитываемым ранее, ярко выраженным **спином-джетом** разных пространственных масштабов от протона, через кавитационные пузыри, эфирные образования типа "Торнадо",... и до галактик со сдвоенными (присоединенными) тороидальными вихрями.

Представлена технология вычисления плотности эфира в ближнем к Земле пространстве, полученным из расчетов роста размера Земли на основе данных GPS/ГЛОНАСС систем.

Получено первое приближение плотности эфира $\approx 7.0 \cdot 10^{-11} \text{ kg/m}^3$.

Подтверждено понятие "**Гравитационного Эфирного Преобразователя**" - эфирного тороидального вихря, лежащего в основе гравитационной модели "Градиентной Эфиродинамики".

Дано представление, что **Эфирный Тороидальный Вихрь** со **спином-джетом** является универсальным механизмом движения эфира во вселенной.

Показана работа тороидального эфирного вихря в границах Галактики "МП" - вводная часть, представлено изображение джетов галактики на радиоизображении ее центра.

Видео доклада на конференции: "**Гравитация и Инерция - реакция на ускоренное движение эфира и в эфире**"

Эфиродинамическая основа эфирной среды – Тороидальный Вихревой Процесс от протона до галактик – как результат взаимодействия "Градиентов Эфирного Давления"

GED-20

Модель Ацюковского В. А.



Эфирная модель протона (по Ацюковскому)

Кавитация пузырька



Crum L. J. Physique, v.40, 285 (1979)

Эфиродинамическая модель тороидального эфирного вихря

Тороидальная эфирная модель Ацюковского расширена существенным вкладом прогоняемого через его центральную область эфирного потока, который представляет собой **спин (джет)** для всего диапазона масштабов: (у галактик и звезд эфирный сдвоенный тороид вращения зеркально отраженный).

Модель Эфирного Тороидального Вихря со Спином



Спин (Джет)

Эфиродинамическая схема протона, атома, кавитац. пузырька, ... , галактик

Джеты галактики IC 4296



http://www.course-as.ru/AEM_GE/AEM_Gravy-GE_2.mp4

на канале **RUTUBE** (https://rutube.ru/video/private/41c4528147a401fcb3124cc6327140d2/?p=Fa_Kp_sMNIc00IVZsi1ZNq),

на канале **ДЗЕН** (<https://dzen.ru/video/watch/637f2c6b1580e87f7218574e?t=77>),

в **YouTube** на канале "Осенило" (<https://www.youtube.com/watch?v=R4OсHTIWZU>),

на канале **Глобальная волна** (<https://www.youtube.com/watch?v=zKPRVTFsTKo>),.

Файл презентации: http://www.course-as.ru/AEM_GE/AEM_Gravy-GE.pdf в формате PDF(6.3MB).

Международная конференция ИИИ "К новой (единой) физике". 05.12.2021г. Иерусалим.

Тема: **Астрономические явления и гравитация как реакция материи на вихревое движение эфира:**

Часть 1. "Гравитация и инерция как реакция на ускоренное движение эфира" - рассматривается гравитация как реакция на ускоренное движение эфира через объект, и инерция как ускоренное движение объекта в эфире.

Аннотация

Базовая модель эфира - всепроникающая газоподобная среда (за исключением базовых элементов ядра - протонов и нейтронов), которую обосновал и предложим основатель "Эфиродинамики" В.А. Ацюковский, с

дополнениями и уточнениями автора, в виде системотехнического подхода к познанию - "**Градиентной Эфиродинамики**".

Модельное представление астрономических объектов основана на доказательной базе астрономических исследований и наблюдений, которые дали представление о гравитации как о ускоренном движении эфирных потоков к центрам гравитирующих объектов за счет сильного уменьшения эфирного давления (эффект пылесоса), при схлопывании малых эфирных вихрей в материальные протоны напрямую(или через нейтронную фазу).

Эфирный вихрь, если не сжимается до плотностей материальных частиц, то не видим в спектрах оптических излучений и сенсорной чувствительности, доступной человечеству непосредственно, но частично доступен инструментально.

Например "магнитное поле" катушки, представляющее собой псевдотороидальное, ламинарное, замкнутое само на себя, вихревое течение эфира, или "X-Ray излучение", которое является продольной эфирной ударной волной, или "электромагнитное излучение", являющееся продольной эфирной волной (не ударной), и т.д., созданных **Градиентами Эфирного Давления** в пространстве и во времени.

Видео доклада на конференции - "**Гравитация и Инерция как реакция на ускоренное движение эфира**"

GED-21

Астрономические явления и гравитация – реакция материи на вихревое и ускоренное движение эфира

Эфирный вихрь – универсальный механизм космоса

Движение эфирных потоков под действием градиентов эфирного давления:

- в радиальном направлении – внутри линейная зависимость - $V_{EP} \propto \omega R$ и вдоль стенок уплотненного эфира V_{EW} (стволовой спиральный остов внутри эфирного вихря),
- и снаружи - обратно пропорциональная зависимость ($V_{EC} \propto 1/R$);
- справа торнадо – прообраз части (половина) эфирного космического вихря.

Круговая скорость $V_{EP} \propto \omega R$ «Твердое тело»

Круговая скорость $V_{EC} \propto 1/R$

Ускоренное Движение Эфира

Торнадо Корона

Торнадо Ствол
Внутренний $\Phi = 130\text{м}$,
Толщина стенки = 3м.

http://www.course-as.ru/AEM_GE/AEM_Gravy-GE.mp4

на канале **RUTUBE** (<https://rutube.ru/video/e8ce3ca923e49b1792b5ce7bb6b80a40/>),

на канале **ДЗЕН** (<https://zen.yandex.ru/video/watch/61aeaa99781cc81fb61fe45e?t=3>),

в **YouTube** на канале "Глобальной Волны" (<https://www.youtube.com/watch?v=caE-xLqCRs>),

Файл презентации Части 1 : <https://disk.yandex.ru/i/qomwIF6T7G0RuQ> в формате PDF(6.3MB).

Российкий междисциплинарный семинар по темпорологии им. А.П.Левича (ИИПВ)

На заседании **семинара 02.11.2021г. № 751** был представлен доклад :

(<http://chronos.msu.ru/ru/mediatek/video-sem/2021/zasedanie-seminara-02-noyabrya-2021-g>)

"Взгляд на Рентген излучение с позиций "Эфиродинамики": X-Ray - Ударная Продольная Эфирная Волна"

Аннотация

Электромагнитную природу рентгеновского излучения никто не доказал экспериментально!! Нет ни одного опыта определения длины волны, частоты колебания (электромагнитными методами это принципиально невозможно), ни скорости распространения рентгеновского излучения!!

X-Ray излучение это не электромагнитная волна с приписываемыми ей параметрами, что не основано на

проведенных измерениях и опытных экспериментальных данных, подтверждающих теоретические предположения - неизвестно ни одного эксперимента измерения длины волны или частоты колебаний предполагаемого электромагнитного излучения (и где тот частотомер? или измеритель длины волны?, ведь электромагнитные приборы не могут работать с такими частотами и длинами!), это все аксиоматичные утверждения не подкрепленные измерениями.

Показана возможность существенного уменьшения дозы рентгеновского излучения, на порядок и более, при компьютерной томографии, ангиографии, X-Ray "Томосинтезе" и для других динамических процессов рентгеновской диагностики на аппаратах, выполненном по проекту и технологии "Микросекундная Рентгенология".

Природа ударных продольных волн эфира прекрасно ложится на экспериментальные данные с получением рентгеновского излучения - как при соударении разогнанных электронов об анод, так и при кавитации струй жидкости на металлической поверхности, при фиксировании в телескоп на полупроводниковом детекторе истинного положения звезд, при фокусировке рентгеновского излучения через рентгеновскую оптику Кумахова и на рентгеновских пластинах Фрэнеля.

Эфиродинамическое природа X-Ray излучения.

Рентгеновское (X-Ray) излучение – это результат ответной реакции упругой кристаллической решетки на внешнее механическое ударное воздействие потока "электронов", в результате чего возникает локальное взрывное увеличение эфирного давления на аноде, которое порождает Продольную Ударную Эфирную Волну с очень крутым волновым фронтом (утверждение автора, которое доказательно обосновывается в настоящей презентации).

По отношению к статье "Рентгеновское излучение как продольная ударная эфирная волна", опубликованной автором в 2017 году, добавлены некоторые доказательства, которые на тот момент не были опубликованы или появились совсем недавно.

Семинар "Взгляд на Рентген с позиций "Эфиродинамики": X-Ray - Ударная Продольная Эфирная Волна"



http://www.course-as.ru/AEM_GE/XRay_GED-Lev.mp4

на канале [RUTUBE](https://rutube.ru/video/a91a4603f604c44384f884296a830ef1/) (<https://rutube.ru/video/a91a4603f604c44384f884296a830ef1/>),

на канале [ДЗЕН](https://zen.yandex.ru/video/watch/61afb64c08b773024e90b691?t=1) (<https://zen.yandex.ru/video/watch/61afb64c08b773024e90b691?t=1>),

в [YouTube](https://www.youtube.com/watch?v=lo1Gjfo3F_8) на канале "Глобальной Волны" (https://www.youtube.com/watch?v=lo1Gjfo3F_8),

Файл презентации : http://www.course-as.ru/AEM_GE/AEM_X-Ray-GE.pdf в формате PDF(6.5MB)

"КОНФЕРЕНЦИЯ ПО ЭФИРОДИНАМИКЕ" памяти Владимира Акимовича Ацюковского

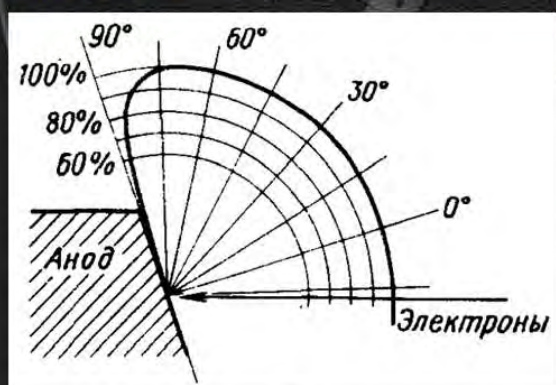
На "КОНФЕРЕНЦИИ ПО ЭФИРОДИНАМИКЕ посвященной памяти Владимира Акимовича Ацюковского", прошедшей 16 октября 2021 года в г. Жуковский (МО), представлено развитие "Эфиродинамики" Ацюковского эффективным инструментом познания всепроникающей эфирной среды, в основе которого лежит принцип определения градиентов эфирного давления, определяемых движением эфирных потоков - основы "Градиентной Эфиродинамики", разрабатываемой автором.

Представлена Эфиродинамическая сущность Рентгеновского Излучения как **Ударной Продольной Эфирной Волны**, определяющей все её известные физические свойства и проявленные в новых экспериментах и наблюдениях, в фильме:

X-Ray – ударная продольная эфирная волна

GED-17

Рентгеновское излучение как результат ответной реакции упругой кристаллической решетки анода на внешнее ударное воздействие разогнанных электронов, превращение последних в эфир с повышением давления в области соударения, далее кристаллическая решетка выбрасывает **микроударную волну эфира** в направлениях, противоположных направлениям векторов **Градиентов Эфирного Давления**.



При 200 mA за 1 mks происходит ~ 10 в 12-ой степени соударений, поэтому полное X-Ray излучение является **суперпозицией микроударных волн эфира** как при центровом соударении электронов с атомами кристаллической решетки, так и при боковом (косом) соударении с ними.

Рентгеновское (X-Ray) излучение есть **"Продольная Ударная Эфирная Волна"**, распространяющаяся от фокусного пятна X-Ray трубки - эпицентра площадки соударений электронов, поэтому 3-х мерный годограф интенсивности излучения является полусферой, кроме 5° зоны в вдоль поверхности анода (Mo или W).

http://www.course-as.ru/AEM_GE/XRay_GED.mp4

на канале **RUTUBE** (<https://zen.yandex.ru/id/5f2bb1d3d4bc814db7d741a2>),

на канале **ДЗЕН** (<https://zen.yandex.ru/id/5f2bb1d3d4bc814db7d741a2>),

в **YouTube** на канале "Глобальной Волны" (<https://www.youtube.com/watch?v=FLZo2KYxZda>),

Презентация "Градиентная Эфиродинамика. Рентгенология":

http://www.course-as.ru/AEM_GE/AEM_GE.ppsx и в PDF формате http://www.course-as.ru/AEM_GE/AEM_GE.pdf.

Семинар по "Холодному Ядерному Синтезу и Шаровым Молниям" ("ХЯС и ШМ"), РУДН, 30.05.2019г.

В июне 2019 года на семинаре по "ХЯС и ШМ" на физическом факультете Университета РУДН, г.Москва, для ознакомления научного сообщества с прорывной технологией 21 века в области рентгенологии, состоялась первая презентация **Проекта и Технологии "Микросекундная Рентгенология", построенная на новых физических принципах, положенных в Градиентная Эфиродинамика/**.

Анонсом обозначены принципиально новые эфиродинамические подходы: к пониманию природы "электрического тока", к "электрическим и магнитным" явлениям, "электромагнитному" излучению как продольной (не ударной) эфирной волны, пониманию "гравитации и инерции" как ускоренного движения эфира, показан "эфиродинамический" привод планет, звёзд, галактик, для решения глобальных астрономическим проблем.

Впервые представлена **Эфирная сущность Рентгеновского Излучения: Ударной Продольной Эфирной Волны!**



http://www.course-as.ru/AEM_GE/AEM_MSR-RUDN.mp4

на канале **RUTUBE** (<https://rutube.ru/video/918a0e834755104f1db6be790e04bc58/?playlist=97881>),

на канале **ДЗЕН** (<https://dzen.ru/video/watch/617245d36c50be3dcdcf8d693>),

в **YouTube** на канале "Глобальной Волны" (<https://www.youtube.com/watch?v=mS5IJanCOcs>),

Теоретические основы "Градиентной Эфиродинамики"

([Дополнительная литература по "Эфиродинамике" и базовым аспектам физических представлений](#))

/ автор - [Авшаров Евгений Михайлович](#) /

• [Рентгеновское излучение как продольная ударная эфирная волна](#)

(http://www.course-as.ru/AEM_GE/GED-Xray/AEM_GED-XRay.html)

Рентгеновское характеристическое излучение (X-Ray) - это результат ответной реакции упругой кристаллической решетки на внешнее механическое ударное воздействие с малой длительностью, в результате чего возникает сферическая продольная ударная эфирная* волна с очень крутым волновым фронтом. Рентгеновское излучение, с позиций "Градиентной Эфиродинамики", и с учетом характеристик его распространения в среде, представляет собой суперпозицию ударных продольных эфирных волн, получаемых при механическом соударении "электронов" о поверхность кристаллического анода.

Файл в формате PDF: - <https://yadi.sk/i/5oh1T2fa1CtWDg> или :

Новый взгляд на рентгеновское излучение MSR-56



Механическая Ударная Волна превращается в Рентгеновскую Эфирную Ударную Волну !!

Рис. 14. Регистрация рентгеновского излучения, формируемого первичной ударной волной с помощью плоско-выпуклой (вверху) и плоско-вогнутой (внизу) металлических линз. В левой части каждого рисунка представлена схема расположения всех деталей эксперимента: 1 - сверхзвуковая струя воды, выходящая из канала в состоянии кавитации, 2 - стакан из вольфрама, 3 - металлическая линза, 4 - рентгеновская пленка в светозащитном пакете. В правой части - рентгеновская пленка после экспонирования в течение 5 минут и стандартной проявки.



Рис. 13. Схема формирования вторичной рентгеновской волны 3, образуемой за счет внутреннего отражения 2 исходной ударной волны 1 от поверхности 4.

Результат воздействия кавитационной струи на вольфрамовую мишень: - мягкое рентгеновское излучение с противоположной стороны (3-; 5)kV, фокусируемое вогнутой / выпуклой алюминиевой линзой !!

http://www.course-as.ru/AEM_GE/AEM_X-Ray.pdf

Файл с дополнениями 2022г. в формате PDF: - [AEM X-Ray как продольная ударная эфирная волна \(2022\).pdf](#)

[Gradient Etherodynamics: X-Ray Radiation as a Longitudinal Shock Etheric Wave](#) (<https://vixra.org/abs/2105.0149>)

X-ray characteristic radiation (X-Ray) is the result of the response of an elastic crystal lattice to an external mechanical shock with a short duration, resulting in a spherical longitudinal shock aether * wave with a very steep wavefront. X-ray radiation, from the point of view of "Gradient Etherodynamics", and taking into account the characteristics of its propagation in the medium, is a superposition of shock longitudinal aetheric waves obtained by mechanical collision of "electrons" on the surface of the crystalline anode.

File in PDF format: - <https://vixra.org/pdf/2105.0149v1.pdf>

• [Гравитация и инерция как реакция на ускоренное движение эфира](#)

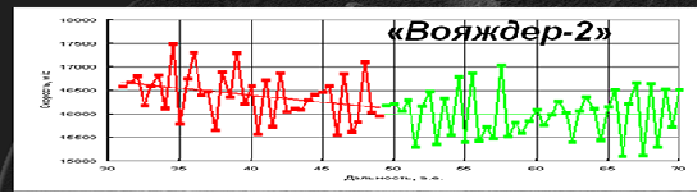
(http://www.course-as.ru/AEM_GE/GED-Gravy/AEM_GED-Gravy.html)

Рассматривается гравитация как реакция на ускоренное движение эфира через объект, и инерция как ускоренное движение в эфире объекта - подход в рамках инструментария "Градиентной Эфиродинамики".

Файл в формате PDF: - https://yadi.sk/i/szq5mDq9_mGo8g или :

"Градиентная Эфиродинамика" – физика эфира MSR-57

Гравитация и инерция как реакция на ускоренное движение эфира



«Вояджер-2»

$$m \cdot g = m \cdot (\gamma \cdot M \varepsilon) / R^2$$

γ и $M \varepsilon$ определяется как их произведение, т.к. гравитационного притяжения тел не существует, притяжение - работа Гравитационного Генератора

Обнаруживается интересная закономерность при вычислении параметров гравитационного эфирного преобразователя Γ_{E0} , и соотношения его со средней плотностью планет:

	м/с ²	тыс. км	(с ⁻²)	(кг/м ³)	$\rho / (\Gamma_{E0} \cdot 10^3)$
Солнце	(g=271 и R=695)		$\Gamma_{E0} = 0.39 \cdot 10^{-6}$	$\rho = 1.41 \cdot 10^3$	3.62
- Меркурий	(g=3.68 и R=2.44)		$\Gamma_{E0} = 1.51 \cdot 10^{-6}$	$\rho = 5.42 \cdot 10^3$	3.59
- Венера	(g=8.88 и R=6.05)		$\Gamma_{E0} = 1.47 \cdot 10^{-6}$	$\rho = 5.25 \cdot 10^3$	3.57
- Земля	(g=9.80 и R=6.38)		$\Gamma_{E0} = 1.54 \cdot 10^{-6}$	$\rho = 5.52 \cdot 10^3$	3.58
- Марс	(g=3.68 и R=3.39)		$\Gamma_{E0} = 1.14 \cdot 10^{-6}$	$\rho = 3.94 \cdot 10^3$	3.46
- Луна	(g=1.62 и R=0.87)		$\Gamma_{E0} = 1.86 \cdot 10^{-6}$	$\rho = 3.35 \cdot 10^3$	1.80
- Юпитер	(g=24.0 и R=69.9)		$\Gamma_{E0} = 0.34 \cdot 10^{-6}$	$\rho = 1.33 \cdot 10^3$	3.91
- Сатурн	(g=9.74 и R=58.2)		$\Gamma_{E0} = 0.17 \cdot 10^{-6}$	$\rho = 0.69 \cdot 10^3$	4.05
- Уран	(g=7.51 и R=25.3)		$\Gamma_{E0} = 0.30 \cdot 10^{-6}$	$\rho = 1.29 \cdot 10^3$	4.30
- Нептун	(g=11.0 и R=24.6)		$\Gamma_{E0} = 0.45 \cdot 10^{-6}$	$\rho = 1.64 \cdot 10^3$	3.64

$$F_g \equiv m \cdot g$$

Гравитационный Генератор:
 $\Gamma_E = g / R$
 $F_g = m \cdot \Gamma_E \cdot R$

$$\Gamma_E = (g_0 \cdot R_0^2) / R^3$$

$$g_0 \cdot R_0^2 = Const$$

http://www.course-as.ru/AEM_GE/AEM_Gravy.pdf

Gradient Etherodynamics: Gravity and Inertia as a Reaction to the Accelerated Movement of the Ether

(<https://vixra.org/abs/2105.0150>)

Gravitational etheric transformer of the object of gravitation, under the pressure of ether in the external space, creates a laminar centripetal etheric flow, carries out the compression of this vortex flow, the final stage of which is the materialization of protons.

File in PDF format: - <https://vixra.org/pdf/2105.0150v1.pdf>

• Астрономические явления как реакция материи на вихревое движение эфира

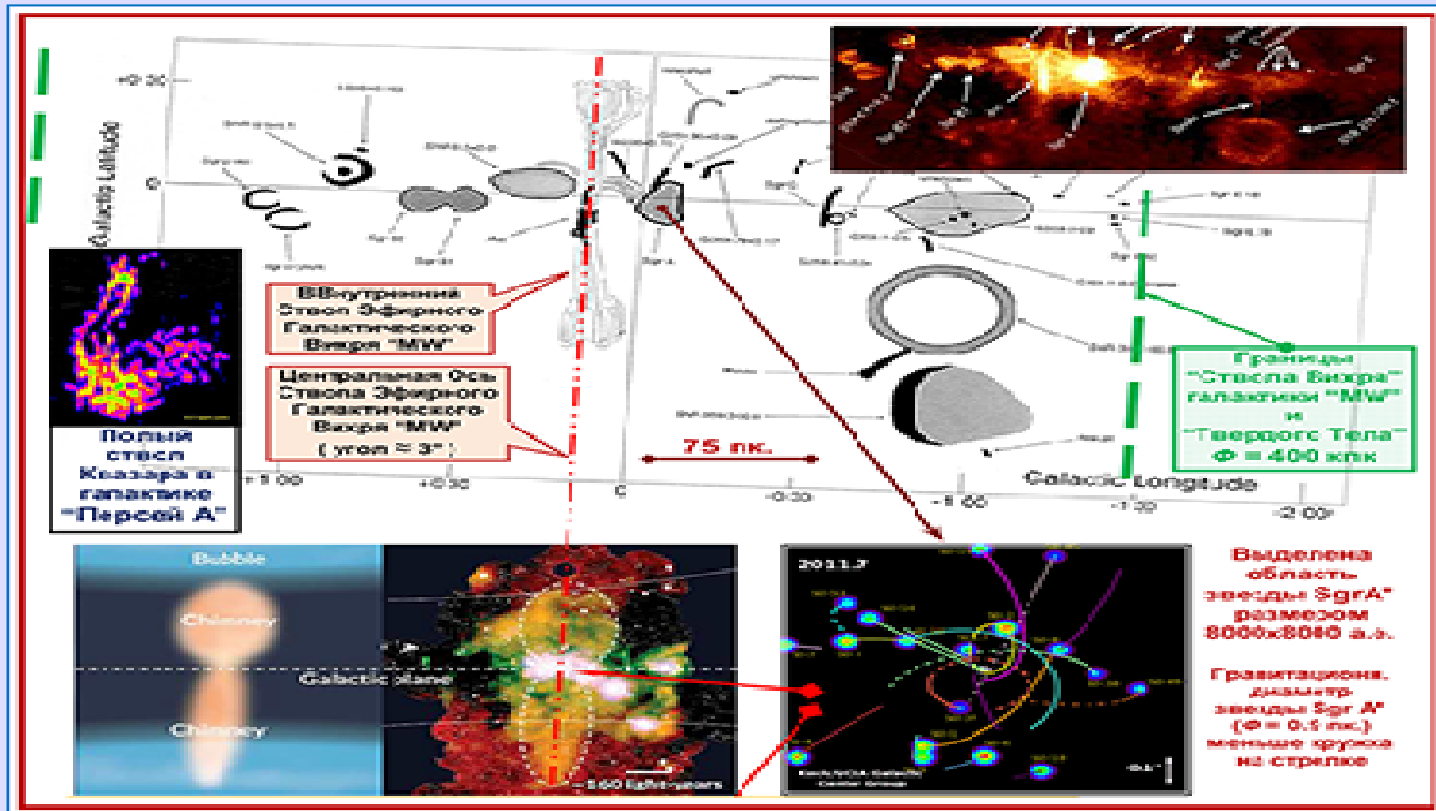
(http://www.course-as.ru/AEM_GE/GED-Astro/AEM_GED-Astro.html)

То, что один человек называет Богом, другой называет законами физики. / Никола Тесла /

Природа не пишет формул, она не знает ни интегралов и дифференциалов, ни дивергенций и роторов, ни "пси" и "кси" функций, она не знает ни масс, ни длин и времен, ни "искривленных пространств" и "квантов", не знает ни религий, ни атеизма, не знает ни "Добра", ни "Зла".

Но она создала самое универсальное - движение и вращение эфира - как первичную субстанцию, среду, из которой рождается Жизнь - от Протона до Галактик, от полного Хаоса до высокоорганизованного Разума, реализуя главный закон Вселенной: - непрерывный процесс трансформации Эфира из небытия в Бытие (Жизнь) и обратно.

Файл в формате PDF: - <https://disk.yandex.ru/i/htd0RK549FhUNO> или :



http://www.course-as.ru/AEM_GE/AEM_Astro.pdf

Gradient Etherodynamics: Astronomical Phenomena as a Reaction of Matter to the Vortex Motion of the Ether

(<https://vixra.org/abs/2105.0151>)

What one person calls God, another calls the laws of physics. / Nikola Tesla /

Nature does not write formulas, she knows neither integrals and differentials, nor divergences and rotors, nor "psi" and "xi" functions, she knows neither masses, nor lengths and times, nor "curved spaces" and "quanta", knows neither religions nor atheism, knows neither "Good" nor "Evil".

But she created the most universal - the movement and rotation of the ether - as the primary substance, the environment from which Life is born - from the Proton to the Galaxies, from complete Chaos to highly organized Mind, realizing the main law of the Universe:

- the Continuous process of the transformation of Ether from nonexistence into Being (Life) and back.

File in PDF format: - <https://vixra.org/pdf/2105.0151v1.pdf>

• Эфирный Электро-Магнетизм. Часть 1. Статика. Электростатика

(http://www.course-as.ru/AEM_GE/GED-1_ES/AEM_GED-1_ES.html)

На сегодня нет доказательных опытов по электронной проводимости металлов и полупроводников, даже наоборот - приводит к физическому непониманию например взаимосвязи и перпендикулярности токов, направлений движения и магнитных явлений, инерционности токовых процессов во времени, свойств "сверхпроводимости", эффектов в "Вилке Авраменко", в "эффekte Сигалова" и т.д.

Эти же опыты, как будет показано ниже, могут быть объяснены эфиродинамическим подходом "Градиентной Эфиродинамики" с большей логической сходимостью причинно-следственных связей процессов при протекания токов, при генерации напряжений, во взаимосвязи токов и магнитных полей в пространстве и времени, исходя из единственного ключевого базового предположения:

- "электрический ток" в материальной среде представляет собой направленный поток эфира, порожденный разностью давлений эфира внутри локального пространства металлического проводника в локальном промежутке времени.

Etheric Electromagnetism Part 1. Statics. Electrostatics (Gradient Etherodynamics)

(http://www.course-as.ru/AEM_GE/GED-1_ES/AEM_GED-1_ES.html)

(<https://vixra.org/abs/2108.0034>)

To date, there are no conclusive experiments on the electronic conductivity of metals and semiconductors, even on the contrary, it leads to a physical misunderstanding, for example, of the interconnection and perpendicularity of currents, directions of motion and magnetic phenomena, the inertia of current processes in time, the properties of "superconductivity", the effects in the "Avramenko Fork", in the "Sigalov effect", etc.

This is the third part of the publication - "Etheric Electro-Magnetism. Part 3. Dynamics of "Electro-Magnetic" processes".

From the point of view of ether-dynamic processes, the term "Dynamics" represents all dynamic processes of ether movement, in which the first derivative of any macro process in time at any point of the surrounding space, where these processes take place, is not equal to zero:

- $0 < dProc_{xx}/dt < 0$, that is, the current ether-dynamic processes in the ether are not stationary!

File in PDF format: - <https://vixra.org/pdf/2108.0032v1.pdf>

Файл в формате PDF: - <https://yadi.sk/i/MMYYO26W0JrS4Q>



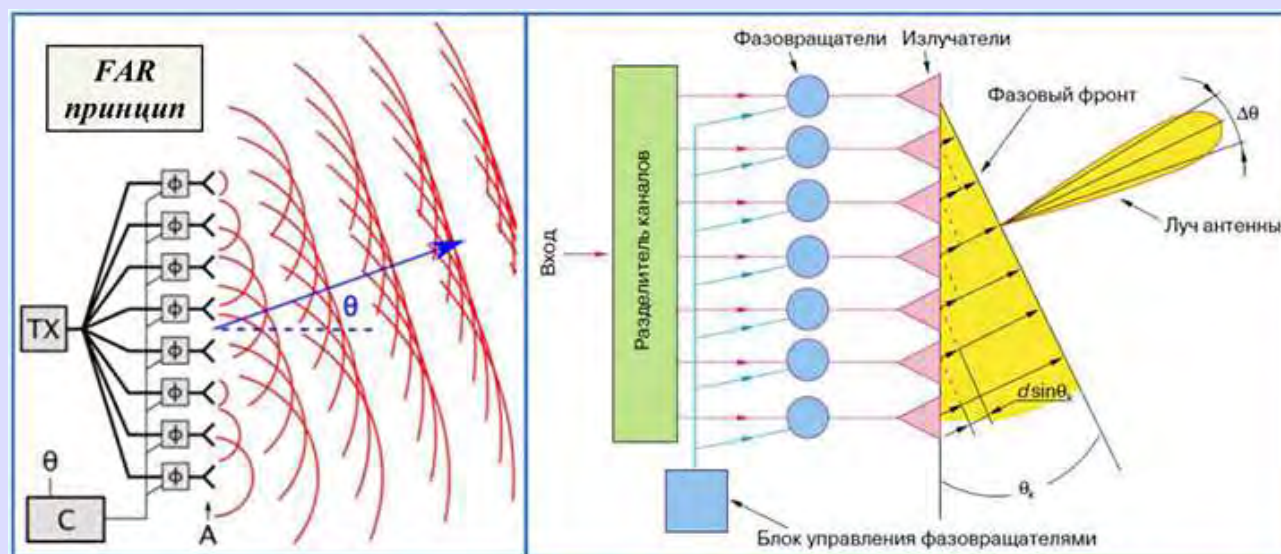
http://www.course-as.ru/AEM_GE/AEM_El-p3.pdf

• **Герц и Тесла. Кто прав, кто не прав.** (http://www.course-as.ru/AEM_GE/AEM_Hertz&Tesla.pdf)

Тесла подчеркивал принципиальное отличие его представления от теории Герца:

«Я показал, что универсальная среда является газообразным телом, в котором могут распространяться только продольные импульсы, создавая переменное сжатие и расширение, подобно тем, которые производятся звуковыми волнами в воздухе.

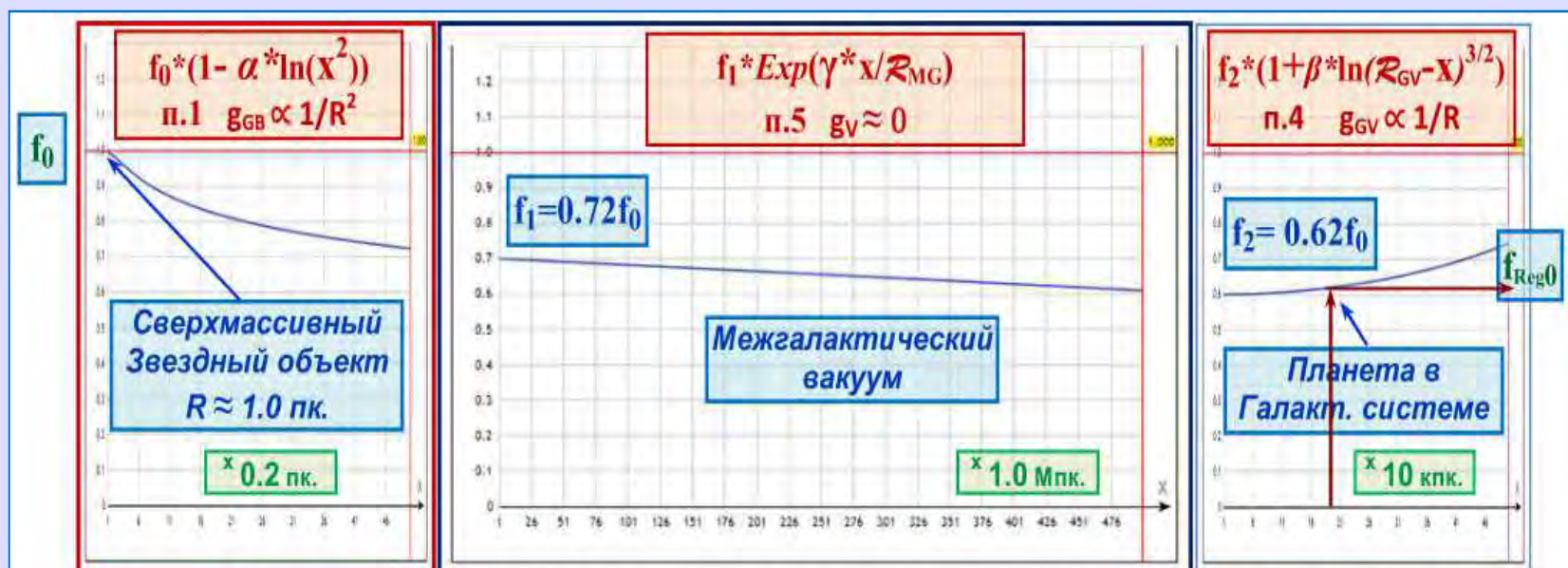
Таким образом, беспроводный передатчик не производит волны Герца, которые являются мифом, но он производит звуковые волны в эфире, поведение которых похоже на поведение звуковых волн в воздухе, за исключением того, что огромная упругость и крайне малая плотность данной среды делает их скорость равной скорости света».



(http://www.course-as.ru/AEM_GE/AEM_Hertz&Tesla.pdf)

• **Световое и Радио-излучения – разные эфирные сущности!** (http://www.course-as.ru/AEM_GE/AEM_Light&Radio.pdf)

Эфирные излучения представляют собой разные эфирные сущности так называемого "электромагнитного спектра", с разными свойствами и закономерностями поведения в эфирной окружающей среде, это важно для понимания закономерностей движения материальных объектов в эфирной среде вакуума и прохождения в ней излучений, для правильного определения истинных значений скоростей, ускорений, расстояний, сил, напряжений, масс материальных объектов.



Изменение излученной частоты сигнала при выходе из сверхмассивного звездного объекта.
 "Астрономические явления как реакция материи на вихревое движение эфира" / Градиентная Эфиродинамика /.

http://www.course-as.ru/AEM_GE/AEM_Hertz&Tesla.pdf

Медицинское направление **"Градиентной Эфиродинамики"**
(Технология и Проект **"Микросекундная Рентгенология"**)

• **Диагностическая рентгенология на новых физических принципах. "Микросекундная Рентгенология"**

(http://www.course-as.ru/AEM_GE/MS-R_IJC/MS-R_IJC.htm)

Актуальность существенного уменьшения рентгеновской дозы с одновременным увеличением разрешающей способности диагностической рентгенологии, возможно ли это? Технология и Проект "Микросекундная Рентгенология", основанная на новых физических (эфиродинамических) принципах:



http://www.course-as.ru/download/pdf/MS-R_IJC.pdf

The Relevance of the Significant Reduction of X-ray Dose while Increasing the Resolution of Diagnostic Radiology.

(<https://vixra.org/abs/2108.0037>)

The relevance of a significant reduction in the X-ray dose with a simultaneous increase in the resolution of diagnostic radiology, is it possible? Technology and Project "Microsecond Radiology" based on new physical (etherodynamic) principles.

File in PDF format: - <https://vixra.org/pdf/2108.0037v1.pdf>

Технология "Микросекундная Рентгенология" на новых физических принципах

В июне 2019 года на семинаре по Холодному Ядерному Синтезу и Шаровым Молниям (ХЯСиШМ) в физическом факультете Университета РУДН, г.Москва, для ознакомления научного сообщества с прорывной технологией 21 века в области рентгенологии, состоялась презентация **Проекта и Технологии "Микросекундная Рентгенология"** :

на канале **RUTUBE** (<https://rutube.ru/video/918a0e834755104f1db6be790e04bc58/>)

на канале **ДЗЕН**: (<https://zen.yandex.ru/video/watch/617245d36c50be3dcdcf8d693?t=2>)



http://www.course-as.ru/AEM_GE/AEM_MSR-RUDN.mp4

В настоящее время существующие подходы к построению рентгеновских диагностических систем не позволяют объединить в одном изделии такие характеристики как:

- **уменьшение рентгеновской дозы на порядок и более !!**,
- **уменьшение фокусного пятна рентгеновской трубки до величины $0.1 \times 0.1 \text{ mm}$ и менее** при миллисекундном времени съемки кадра рентгеновского изображения;
- **снижение интегральной мощности излучения на кадр изображения**, приходящегося на период излучения без увеличения мгновенной мощности рентгеновской трубки;
- **увеличение разрешения динамических рентгеновских детекторов** с одновременным увеличением скорости кадров в секунду;
- **снижение величины отношения сигнал/шум и увеличения разрешающей способности диагностических изображений** за счет математической обработки изображений.

Выход из системных ограничений возможен только за счет создания нового класса рентгеновских диагностических систем, построенных по технологии "**Микросекундная Рентгенология**", вобравшей в себя лучшие стороны всех трех рентгенологий – Стандартной, Микрофокусной и Наносекундной рентгенологий:

[Технология и Проект "Микросекундная Рентгенология"](http://www.course-as.ru/dev_rtxa3k30.html). (http://www.course-as.ru/dev_rtxa3k30.html)

Currently existing approaches to the construction of x-ray diagnostic systems do not allow to combine in one product characteristics such as:

- **reduce x-ray dose by an order of magnitude !!**,
- **reduction of the focal spot x-ray tube to a value of $0.1 \times 0.1 \text{ mm}$ and less**, in the millisecond time shooting the x-ray image;
- **decrease integral radiation power of the image frame coinciding** with the period of radiation without increasing the instantaneous power of x-ray tube;
- **increasing resolution, dynamic x-ray detectors** with a simultaneous increase in the speed of frames per second;
- **reducing the value of the ratio signal/noise and to increase the resolution of diagnostic images** through mathematical processing of images.

The output from the system of constraints is only possible through the creation of a new class of x-ray diagnostic systems, built on technology "**Microsecond Rentgenology**", which incorporates the best of all three rentgenologii – **Standard Microfocus** and **Nanosecond rentgenology**.

От Рентгенологии к Эфиродинамике и Биологии.

Интервью автора каналу Дмитрия Лосинца (15.07.2022г. Москва) - ["Эфиродинамика, Рентген и Биология"](#) .



http://www.course-as.ru/AEM_GE/AEM_ED_X-Ray_Biology.mp4

На канале **RUTUBE** - <https://rutube.ru/video/493ef0cfe0638d28482891060d9a1707/>

В канале **Дзен** - <https://dzen.ru/video/watch/63d2b98c33913053897b0301>

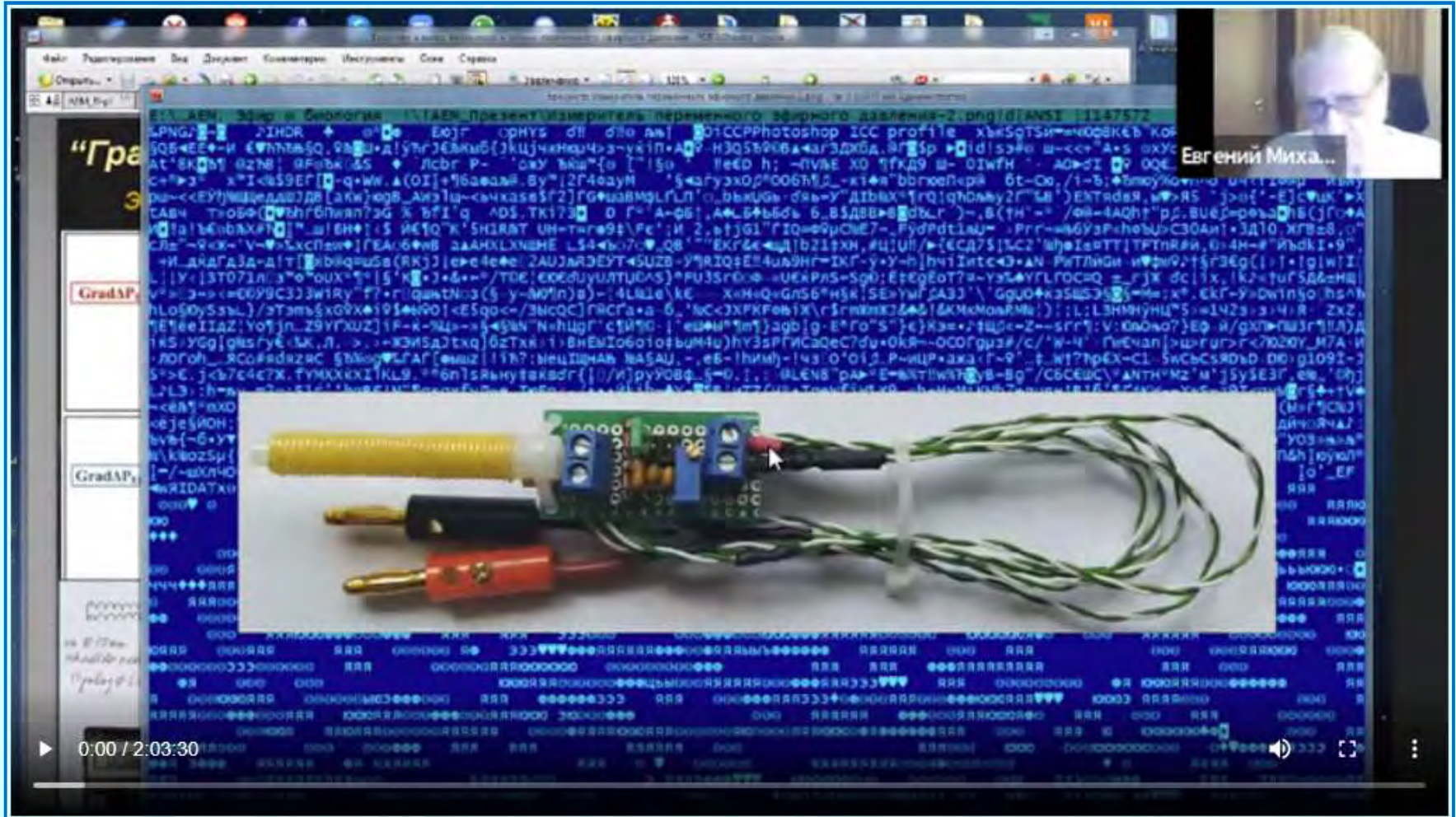
На канале **"Глобальной Волны"** - <https://youtu.be/-sfcyUosSu8>

Вхождение Эфиродинамики в Биологию и ДНК Резонансы.

(DNA Resonance Research Foundation - <https://www.youtube.com/channel/UCXVai-yR3q6UyYpZwEKWzkw/featured>)

Представление "Градиентной Эфиродинамики" на вебинаре **DNA Resonance Research Foundation** (ведущий Максим Викторович Ремпель, <https://dnaresonance.org/russian/>), как нового инструмента реального времени для исследования биологических процессов с позиций эфиродинамики, прошедшем 18.07.2022г. (Сан Диего - Москва).

Видео канала "DNA Resonance Research Foundation" - **"Эфиродинамика (Авшаров ЕМ). Резонансы ДНК"** ;



http://www.course-as.ru/AEM_GE/AEM_Biology_DNA-1.mp4

На заставке видео изображен датчик "Измерителя Переменного Градиента Эфирного Давления":
- "ИГЭД-2" (МГЕР-2), 2021г.

На канале YUTUBE - <https://www.youtube.com/watch?v=BqaTOC500R0&t=6s>

На канале Дзен - <https://zen.yandex.ru/video/watch/62e4215bba32e636fe220b7a>

На канале RUTUBE - <https://rutube.ru/video/bdc5b125de126aabe042ebd337664d55/>

На канале "Глобальная Волна" - <https://youtu.be/byHErNEfy6I>

Гигагерцовый резонанс ДНК.

Гигагерцовый резонанс ДНК. Ихлов Б.Л. 2. Нелокального воздействия на биологические объекты – Часть-1; Авшаров Е.М. – Часть-2; (вебинар **DNA Resonance Research Foundation** <https://dnaresonance.org/russian/>), прошедший 16.01.2023г. (Сан Диего - Москва), руководитель семинара - Ремпель М. В.

На канале YUTUBE - <https://www.youtube.com/watch?v=L1ruCorFEH4>

На канале Дзен - <https://dzen.ru/video/watch/63d2b98c33913053897b0301>

На канале RUTUBE - <https://rutube.ru/video/e3d02bfc6c42dc308492ca426dd303d/>

На канале "Глобальная Волна" - <https://www.youtube.com/watch?v=9yIDakk0WGI>

Видео на канале "DNA Resonance Research Foundation" - [Резонансы ДНК](#)



http://www.course-as.ru/AEM_GE/AEM_Biology_DNA-3.mp4